

Informatyka

Wykład 6

Witold Dyrka
witold.dyrka@pwr.wroc.pl

30/04/2012

Program wykładów

- | | |
|---|-------------------|
| 0. Informatyka. Wprowadzenie do Matlab | (13.02.12) |
| 1. Matlab dla programistów C/C++ | (20.02.12) |
| 2. Optymalizacja obliczeń. Grafika | (05.03.12) |
| 3. Złożone typy danych. Programowanie
zorientowane obiektowo (OOP) | (19.03.12) |
| 4. OOP część 2 | (02.04.12) |
| 5. Graficzny interfejs użytkownika | (16.04.12) |
| 6. Obliczenia numeryczne | (30.04.12) |
| 7. Kolokwium | (14.05.12) |

Materiały do wykładu

- B. Mrozek, Z. Mrozek. MATLAB i Simulink. Poradnik użytkownika. Wydanie III. Helion 2010. Rozdział 8.
- J.L. Cornette and R.A. Ackerman. Calculus for the Life Sciences: A Modeling Approach. Część I-II. <http://cornette.public.iastate.edu/CLS.html>
- M. Kotulska. Informatyka. Wykład 4 i 6. PWr WPPT IB lato 2010/11
www.if.pwr.wroc.pl/~kotulska/informatyka/info4.ppt, www.if.pwr.wroc.pl/~kotulska/informatyka/info6.ppt
- MATLAB Product Documentation. Mathematics.
 - Linear Algebra. Systems of Linear Equations
<http://www.mathworks.com/help/techdoc/math/f4-983672.html>
 - Calculus. Ordinary Differential Equations
<http://www.mathworks.com/help/techdoc/math/f1-662913.html>

Program na dziś

- Obliczenia numeryczne
 - **algebra liniowa**
 - rozwiązywanie układów równań liniowych
 - aproksymacja i interpolacja
 - uchwyt funkcji
 - całkowanie i różniczkowanie
 - równania różniczkowe zwyczajne

http://pl.wikipedia.org/wiki/Uk%C5%82ad_r%C3%B3wna%C5%84_liniowych

- $$\mathbf{U}:\begin{cases} a_{11}x_1 + a_{12}x_2 + \dots + a_{1n}x_n = b_1, \\ a_{21}x_1 + a_{22}x_2 + \dots + a_{2n}x_n = b_2, \\ \vdots \qquad \qquad \qquad \ddots \qquad \qquad \qquad \vdots \\ a_{m1}x_1 + a_{m2}x_2 + \dots + a_{mn}x_n = b_m. \end{cases}$$

- $$\begin{bmatrix} a_{11}x_1 & + & a_{12}x_2 & + & \dots & + & a_{1n}x_n \\ a_{21}x_1 & + & a_{22}x_2 & + & \dots & + & a_{2n}x_n \\ \vdots & & \vdots & & \ddots & & \vdots \\ a_{m1}x_1 & + & a_{m2}x_2 & + & \dots & + & a_{mn}x_n \end{bmatrix} = \begin{bmatrix} b_1 \\ b_2 \\ \vdots \\ b_m \end{bmatrix},$$

- $$\begin{bmatrix} a_{11} & a_{12} & \dots & a_{1n} \\ a_{21} & a_{22} & \dots & a_{2n} \\ \vdots & \vdots & \ddots & \vdots \\ a_{m1} & a_{m2} & \dots & a_{mn} \end{bmatrix} \begin{bmatrix} x_1 \\ x_2 \\ \vdots \\ x_n \end{bmatrix} = \begin{bmatrix} b_1 \\ b_2 \\ \vdots \\ b_m \end{bmatrix}.$$

Układ równań liniowych – przykład

$$\begin{cases} -x + 3y + 2z = 0 \\ x - z = 1 \\ 2x - 3y - z = 3 \end{cases}$$

```
>> A = [ -1 3 2; 1 0 -1; 2 -3 -1];  
>> b = [0 1 3]';
```

```
% A = -1   3   2      b = 0  
%      1   0  -1      1  
%      2  -3  -1      3
```

Układ oznaczony

Liczba liniowo
niezależnych,
niesprzecznych
równań
=
liczbie zmiennych

- Jak znaleźć rozwiązanie?
 - jeśli macierz A jest kwadratowa i odwracalna

```
A*x = b  
inv(A)*A*x = inv(A)*b    % mnożenie obustronne przez  
                           % macierz odwrotną inv(A)  
x = inv(A)*b              % bo: inv(A)*A = I
```

Układ równań liniowych – przykład. (2)

```
% A = -1  3  2      b = 0
%      1  0 -1      1
%      2 -3 -1      3
```

- Jak znaleźć rozwiązanie?

- jeśli macierz A jest kwadratowa i odwracalna

```
>> x = inv(A) * b           % wolniejsze i mniej dokładne
```

lub

```
>> x = A\b                 % szybsze i bardziej dokładne
```

- w obydwu przypadkach:

```
x =
    2
    0
    1
```

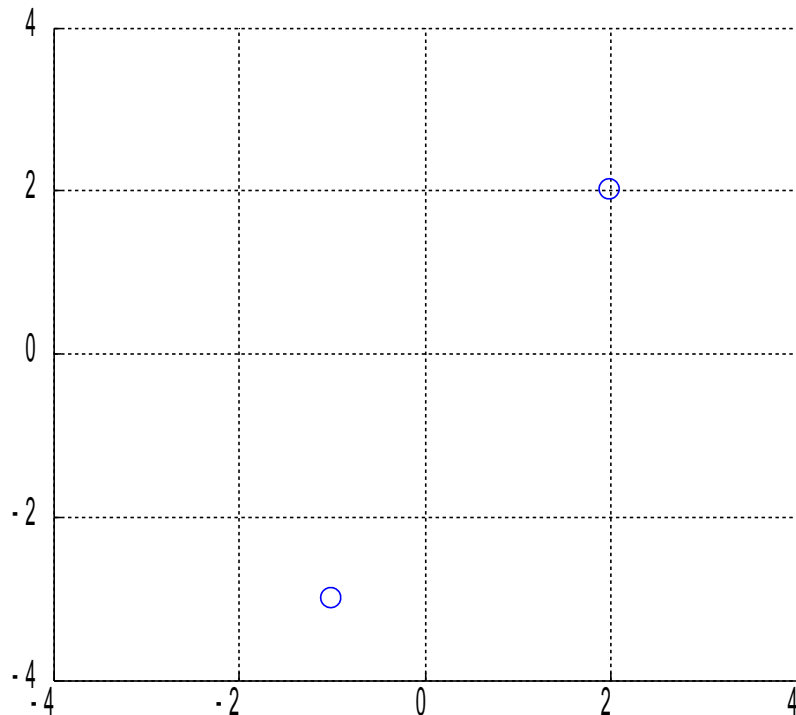
Jak działa operator dzielenia macierzowego?

- Automatyczny wybór najlepszej metody
 - macierz trójkątna
 - metoda podstawiania wstecz
 - macierz symetryczna dodatnio określona
 - rozkład Choleskiego lub LDL'
 - macierz Hessenberga górna
 - eliminacja Gaussa
 - inne macierze kwadratowe
 - rozkład LU z częściowym wyborem elementu podstawowego
- Uwaga!
 - jeśli problem w postaci: $A^*x = b$
 - używamy operatora lewostronnego $x = A \backslash b$
 - jeśli problem w postaci: $x^*A = b$
 - używamy operatora prawostronnego $x = A / b$

`% nb. M/N = (M' \ N')'`

Interpretacja graficzna

- Układ oznaczony



$$\begin{aligned}a_1 x_1 + a_0 &= y_1 \\ a_1 x_2 + a_0 &= y_2\end{aligned}$$

$$\begin{aligned}a_1(-1) + a_0 &= -3 \\ a_1(2) + a_0 &= 2\end{aligned}$$

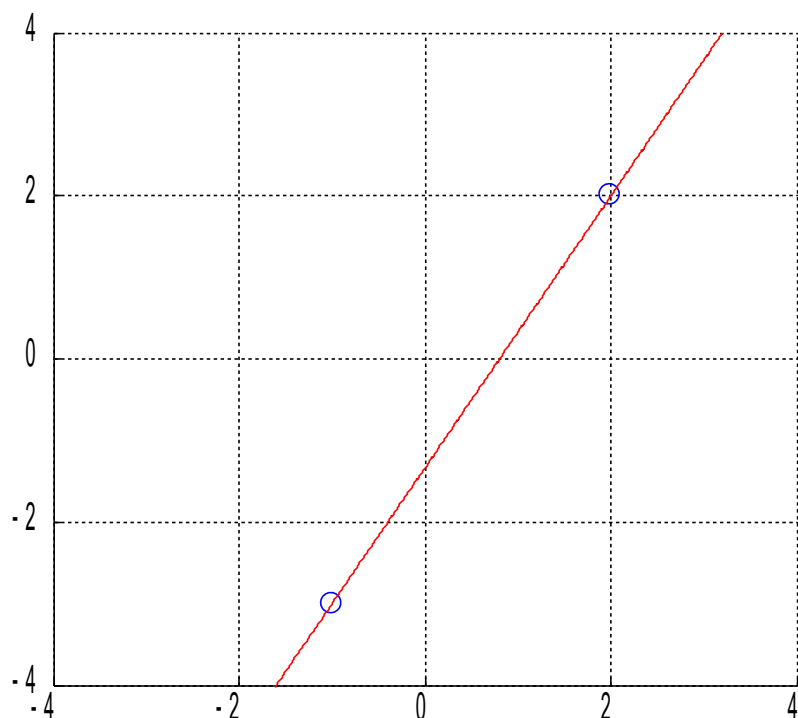
$$X = \begin{bmatrix} -1 & 1 \\ 2 & 1 \end{bmatrix} \quad y = \begin{bmatrix} -3 \\ 2 \end{bmatrix}$$

$$>> a = X \backslash y$$

$$a = \begin{bmatrix} 1.6667 \\ -1.3333 \end{bmatrix}$$

Interpretacja graficzna (2)

- Układ oznaczony



$$a_1 x_1 + a_0 = y_1$$

$$a_1 x_2 + a_0 = y_2$$

$$a_1 (-1) + a_0 = -3$$

$$a_1 (2) + a_0 = 2$$

$$X = \begin{bmatrix} -1 & 1 \\ 2 & 1 \end{bmatrix} \quad y = \begin{bmatrix} -3 \\ 2 \end{bmatrix}$$

```
>> a = X \ y
```

```
a = 1.6667  
    -1.3333
```

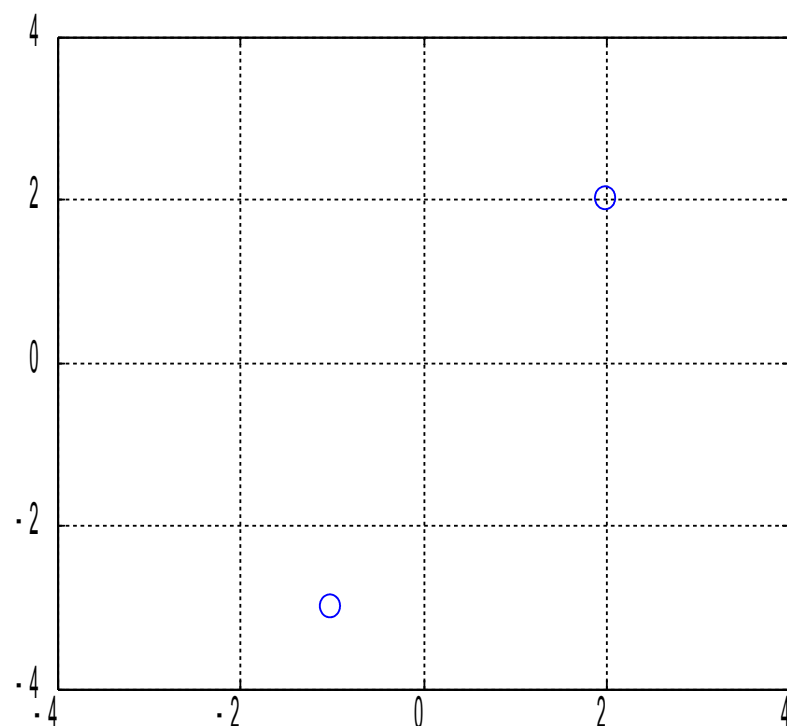
$$y = 1.6667x - 1.3333$$

```
>> t = -4:0.01:4;
```

```
>> plot(t, a(1)*t+a(2));
```

Układ niedookreślony

- Układ niedookreślony

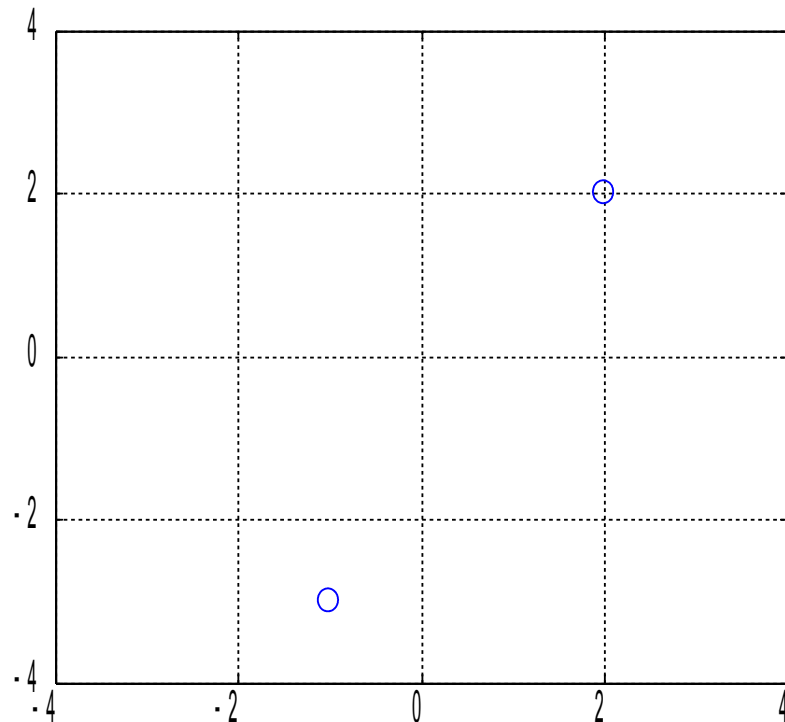


$$\begin{aligned} a_2 \cdot x_1^2 + a_1 \cdot x_1 + a_0 &= y_1 \\ a_2 \cdot x_2^2 + a_1 \cdot x_2 + a_0 &= y_2 \end{aligned}$$

$$\begin{array}{c} \% \quad \underline{x^2 \quad x \quad 1} \\ X = \begin{array}{ccc} 1 & -1 & 1 \\ 4 & 2 & 1 \end{array} \quad y = \begin{array}{c} -3 \\ 2 \end{array} \end{array}$$

Układ niedookreślony

- Układ niedookreślony



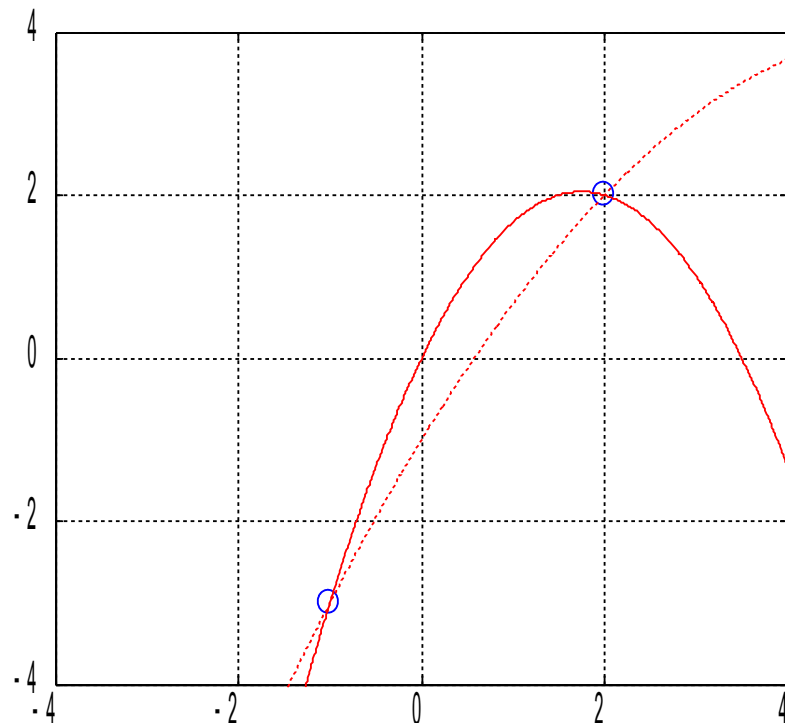
$$\begin{aligned} a_2 \cdot x_1^2 + a_1 \cdot x_1 + a_0 &= y_1 \\ a_2 \cdot x_2^2 + a_1 \cdot x_2 + a_0 &= y_2 \end{aligned}$$

$$\begin{array}{c} \% \quad \underline{x^2} \quad \underline{x} \quad \underline{1} \\ X = \begin{array}{ccc} 1 & -1 & 1 \\ 4 & 2 & 1 \end{array} \quad y = \begin{array}{c} -3 \\ 2 \end{array} \end{array}$$

- Do wyznaczenia paraboli potrzebne są 3 punkty
 - tutaj mamy 2 punkty:
układ **niedookreślony**
 - istnieje nieskończenie wiele rozwiązań

Interpretacja graficzna

- Układ niedookreślony



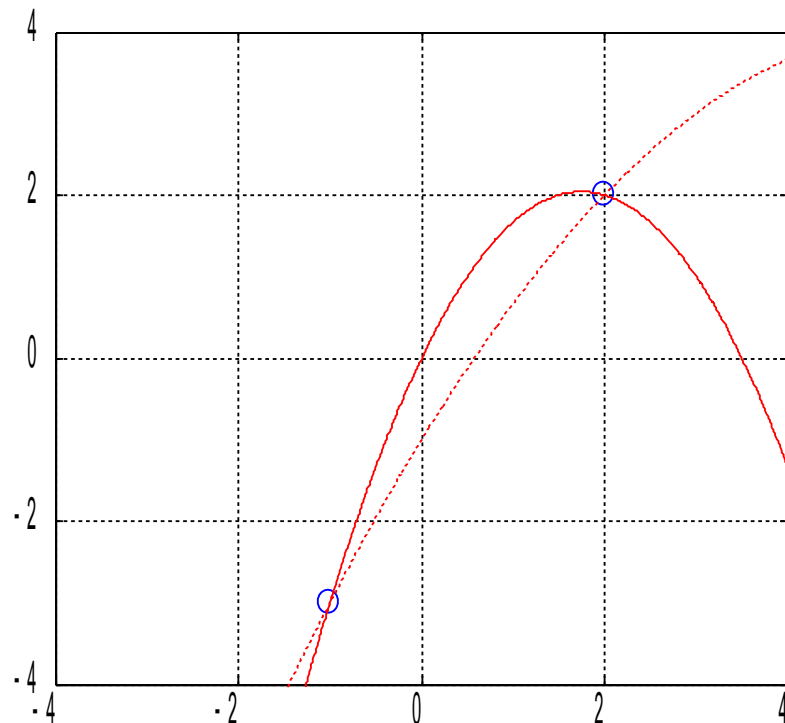
$$\begin{aligned} a_2 \cdot x_1^2 + a_1 \cdot x_1 + a_0 &= y_1 \\ a_2 \cdot x_2^2 + a_1 \cdot x_2 + a_0 &= y_2 \end{aligned}$$

$$\begin{array}{c} \% \quad \underline{x^2} \quad \underline{x} \quad \underline{1} \\ X = \begin{array}{ccc} 1 & -1 & 1 \\ 4 & 2 & 1 \end{array} \quad y = \begin{array}{c} -3 \\ 2 \end{array} \end{array}$$

- Do wyznaczenia paraboli potrzebne są 3 punkty
 - tutaj mamy 2 punkty:
układ **niedookreślony**
 - istnieje nieskończenie wiele rozwiązań

Interpretacja graficzna

- Układ niedookreślony



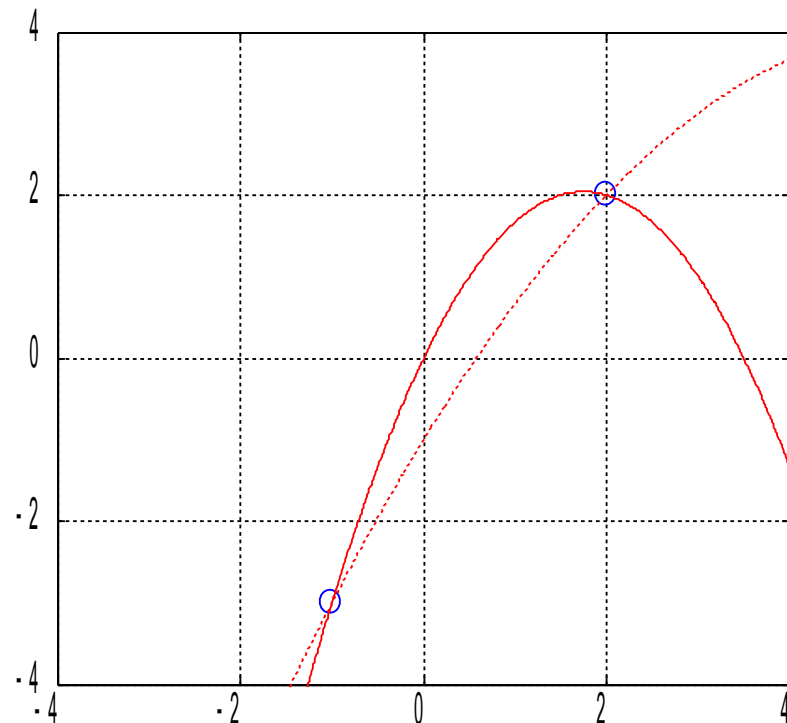
$$\begin{aligned} a_2 \cdot x_1^2 + a_1 \cdot x_1 + a_0 &= y_1 \\ a_2 \cdot x_2^2 + a_1 \cdot x_2 + a_0 &= y_2 \end{aligned}$$

$$\begin{array}{c} \% \quad \underline{x^2} \quad \underline{x} \quad \underline{1} \\ X = \begin{array}{ccc} 1 & -1 & 1 \\ 4 & 2 & 1 \end{array} \quad y = \begin{array}{c} -3 \\ 2 \end{array} \end{array}$$

- Do wyznaczenia paraboli potrzebne są 3 punkty
 - tutaj mamy 2 punkty:
układ **niedookreślony**
 - istnieje nieskończenie wiele rozwiązań

Układ niedookreślony

- Układ niedookreślony



$$\begin{aligned} a_2 x_1^2 + a_1 x_1 + a_0 &= y_1 \\ a_2 x_2^2 + a_1 x_2 + a_0 &= y_2 \end{aligned}$$

% x^2 x 1

$$X = \begin{bmatrix} 1 & -1 & 1 \\ 4 & 2 & 1 \end{bmatrix} \quad y = \begin{bmatrix} -3 \\ 2 \end{bmatrix}$$

% Dwa z możliwych rozw.:

```
>> a = X \ y
```

```
a = -0.6667  
     2.3333  
     0
```

```
>> b = pinv(X) * y
```

```
b = -0.1667  
     1.8333  
    -1.0000
```

```
>> t = -4:0.01:4;
```

```
>> plot(t, ...
```

```
    a(1)*t.^2+a(2)*t+a(3), 'r')
```

```
>> plot(t, ...
```

```
    b(1)*t.^2+b(2)*t+b(3), 'r:')
```

Układ niedookreślony

- Rozwiązanie układu niedookreślonego

$$Xa = y$$

% X – macierz $m \times n$, tj. m punktów

- MATLAB używa metody najmniejszych kwadratów

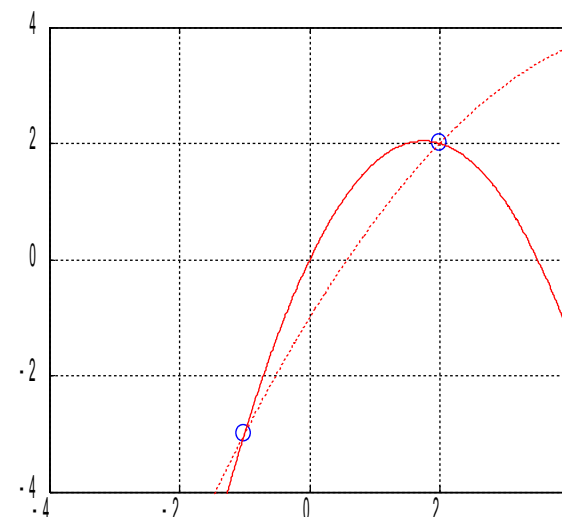
$$a = X \backslash y$$

- najwyżej m niezerowych współczynników a
- operator dzielenia (`mldivide`) stosuje rozkład QR

lub

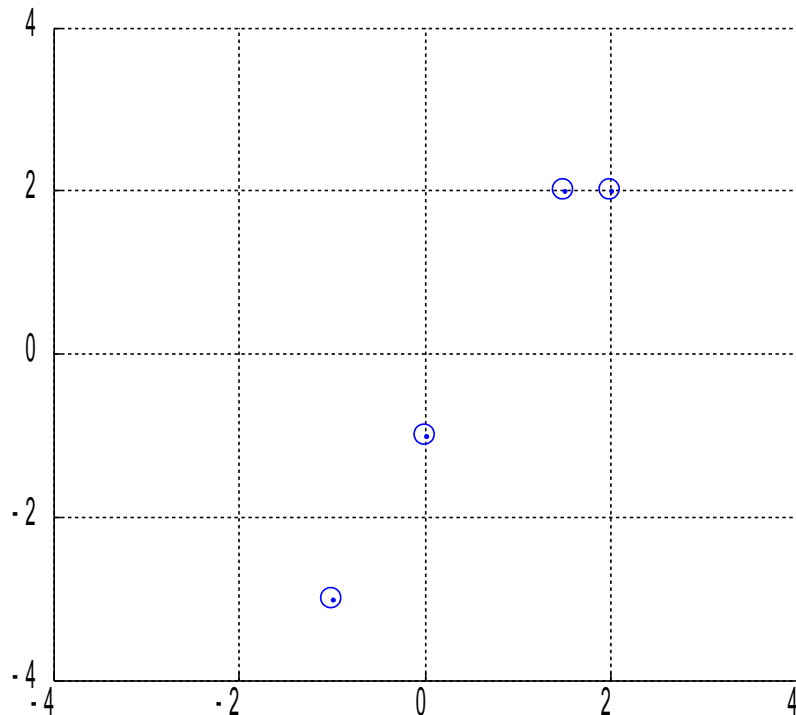
$$a = \text{pinv}(X) * y$$

- najmniejsza norma wektora współczynników a
- `pinv` – macierz pseudoodwrotna Penrose-Moore'a



Układ nadokreślony

- Układ nadokreślony

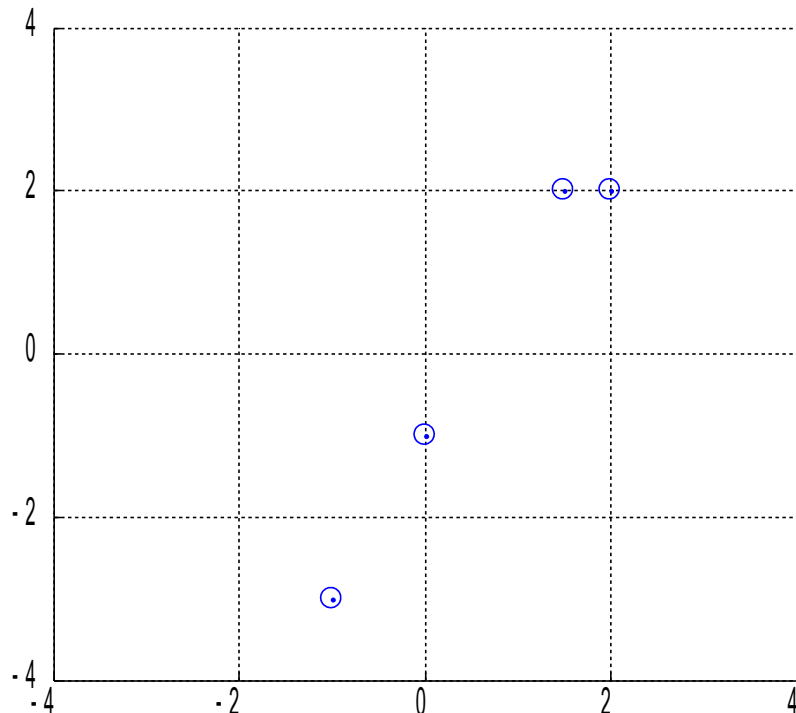


$$\begin{aligned}a_1 x_1 + a_0 &= y_1 \\a_1 x_2 + a_0 &= y_2 \\a_1 x_3 + a_0 &= y_3 \\a_1 x_4 + a_0 &= y_4\end{aligned}$$

$$X = \begin{bmatrix} -1 & 1 \\ 2 & 1 \\ 1.5 & 1 \\ 0 & 1 \end{bmatrix} \quad y = \begin{bmatrix} -3 \\ 2 \\ 2 \\ -1 \end{bmatrix}$$

Układ nadokreślony

- Układ nadokreślony



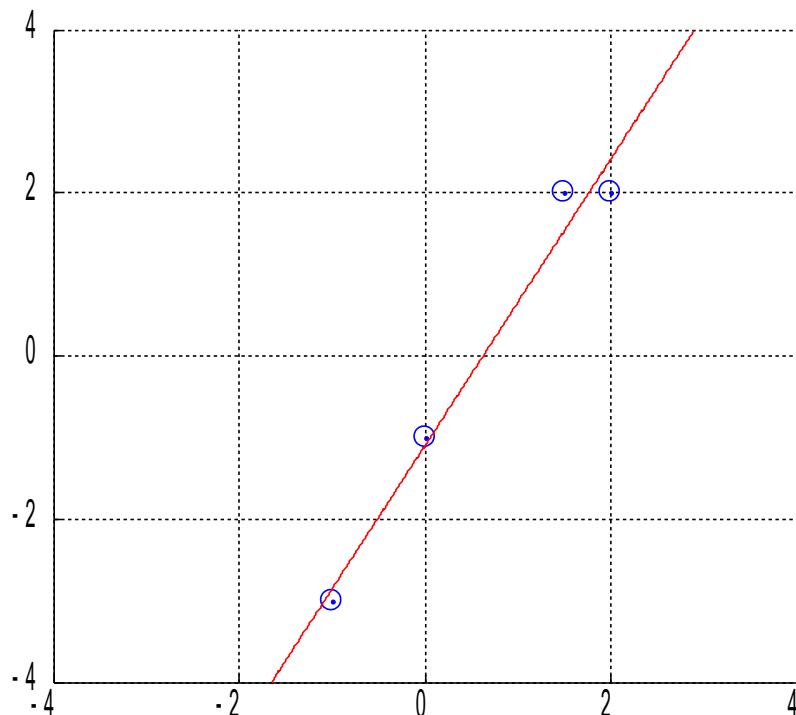
$$\begin{aligned}a_1 x_1 + a_0 &= y_1 \\a_1 x_2 + a_0 &= y_2 \\a_1 x_3 + a_0 &= y_3 \\a_1 x_4 + a_0 &= y_4\end{aligned}$$

$$X = \begin{matrix} -1 & 1 \\ 2 & 1 \\ 1.5 & 1 \\ 0 & 1 \end{matrix} \quad y = \begin{matrix} -3 \\ 2 \\ 2 \\ -1 \end{matrix}$$

- Do wyznaczenia prostej wystarczy 2 punkty
 - tutaj mamy 4 punkty: układ **nadokreślony**
 - nie ma jednej prostej przechodzącej przez wszystkie punkty

Interpretacja graficzna

- Układ nadokreślony



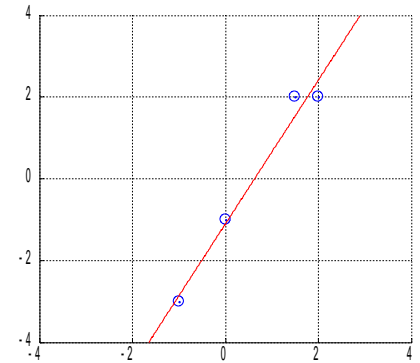
$$\begin{aligned}a_1 x_1 + a_0 &= y_1 \\a_1 x_2 + a_0 &= y_2 \\a_1 x_3 + a_0 &= y_3 \\a_1 x_4 + a_0 &= y_4\end{aligned}$$

$$X = \begin{bmatrix} -1 & 1 \\ 2 & 1 \\ 1.5 & 1 \\ 0 & 1 \end{bmatrix} \quad y = \begin{bmatrix} -3 \\ 2 \\ 2 \\ -1 \end{bmatrix}$$

```
>> a = X\y
```

```
a = 1.7582  
    -1.0989
```

Układ nadokreślony



- Rozwiązanie układu nadokreślonego
 - dopasowanie krzywej do danych metodą najmniejszych kwadratów

$$a = X \backslash y$$

lub

$$a = \text{pinv}(X) * y$$

- `pinv` – macierz pseudoodwrotna Penrose-Moore'a

Uwaga! Metody zwracają różne wyniki

- *jeśli problem najmniejszych kwadratów nie ma unikalnego rozwiązania*

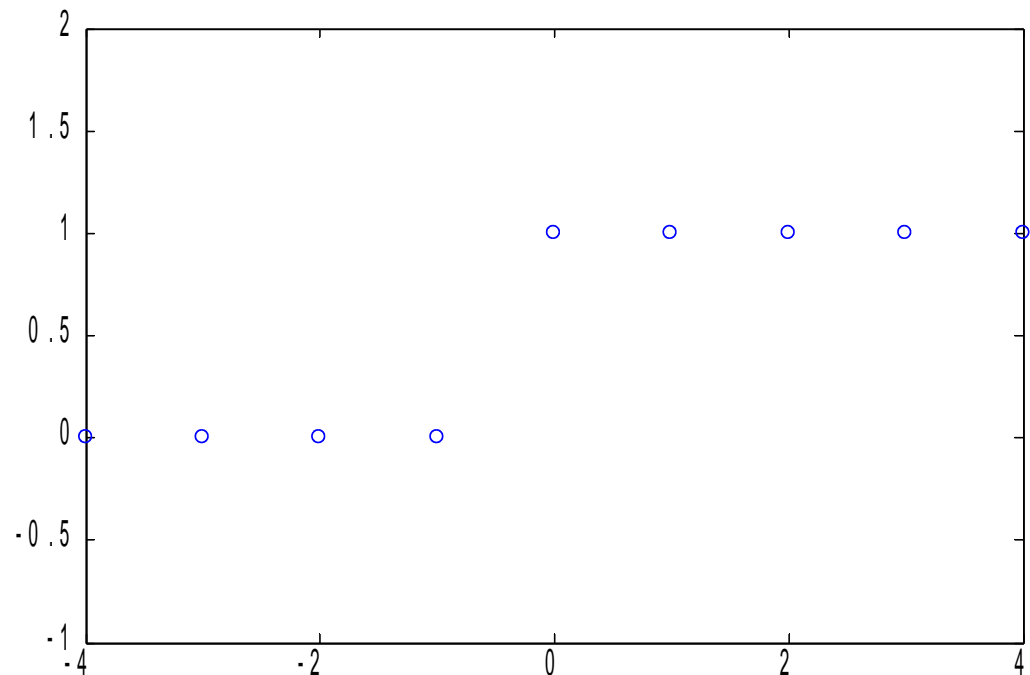
Program na dziś

- Obliczenia numeryczne
 - algebra liniowa
 - **aproksymacja i interpolacja**
 - dopasowanie wielomianem
 - interpolacja w Matlabie
 - uchwyt funkcji
 - całkowanie i różniczkowanie
 - równania różniczkowe zwyczajne

Dopasowanie wielomianem

- Funkcja schodkowa

```
>> x = -4:1:4;  
>> y = [0 0 0 0 1 1 1 1 1];  
  
>> stairs(x,y,'o:')  
>> axis([-4 4 -1 2])
```



Aproksymacja wielomianem

- Wielomian 3 stopnia

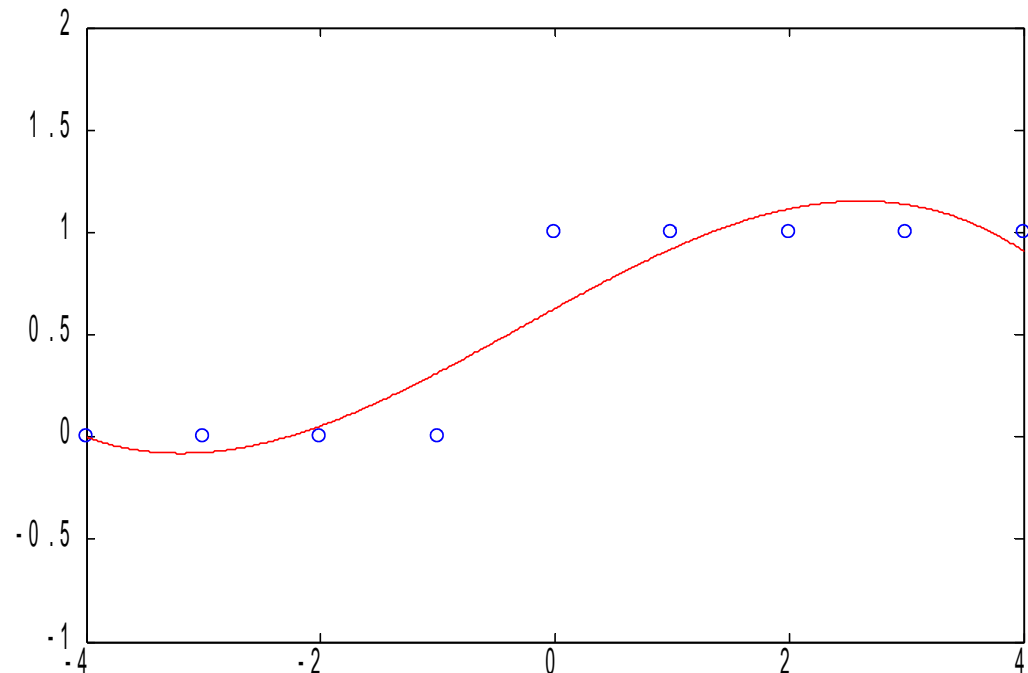
```
>> p=polyfit(x,y,3)
p = -0.0126 -0.0108 0.3157 0.6277    % wsp. wiel. 3-st.

>> xx=-4:.01:4;
>> yy=polyval(p,xx);                % wartości wiel. p dla xx

>> plot(xx,yy,'r')
>> axis([-4 4 -1 2])
```

Aproksymacja

przybliżenie funkcji
skomplikowanej prostą



Aproksymacja wielomianem (2)

- Wielomian 6 stopnia

```
>> p=polyfit(x,y,6);
```

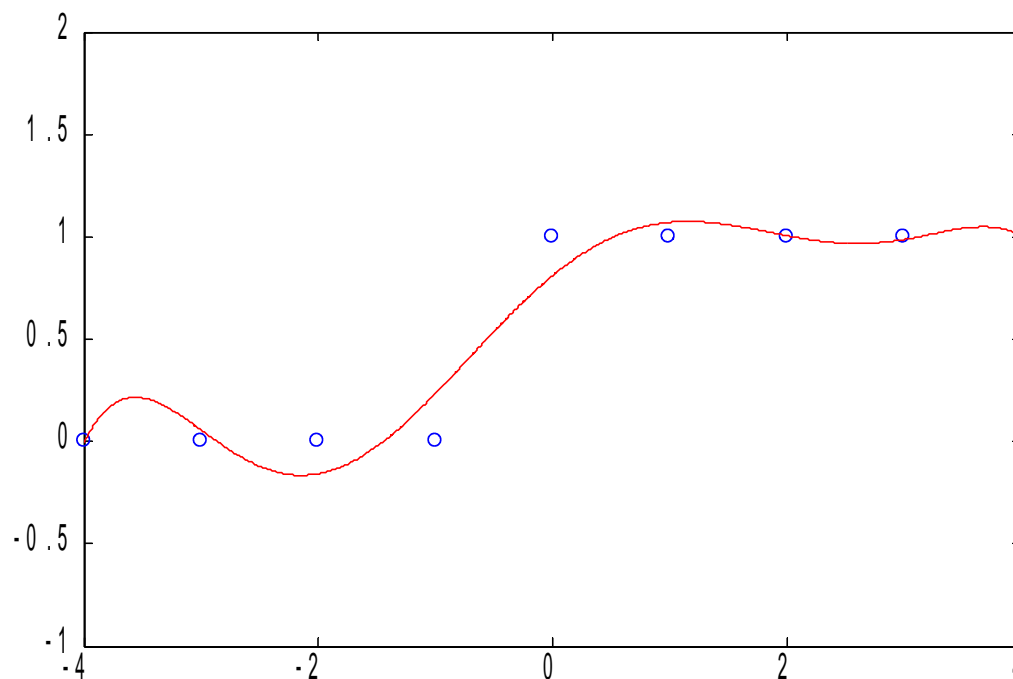
```
>> xx=-4:.01:4;
```

```
>> yy=polyval(p,xx);
```

% wartości wiel. **p** dla **xx**

```
>> plot(xx,yy)
```

```
>> axis([-4 4 -1 2])
```



Interpolacja wielomianowa

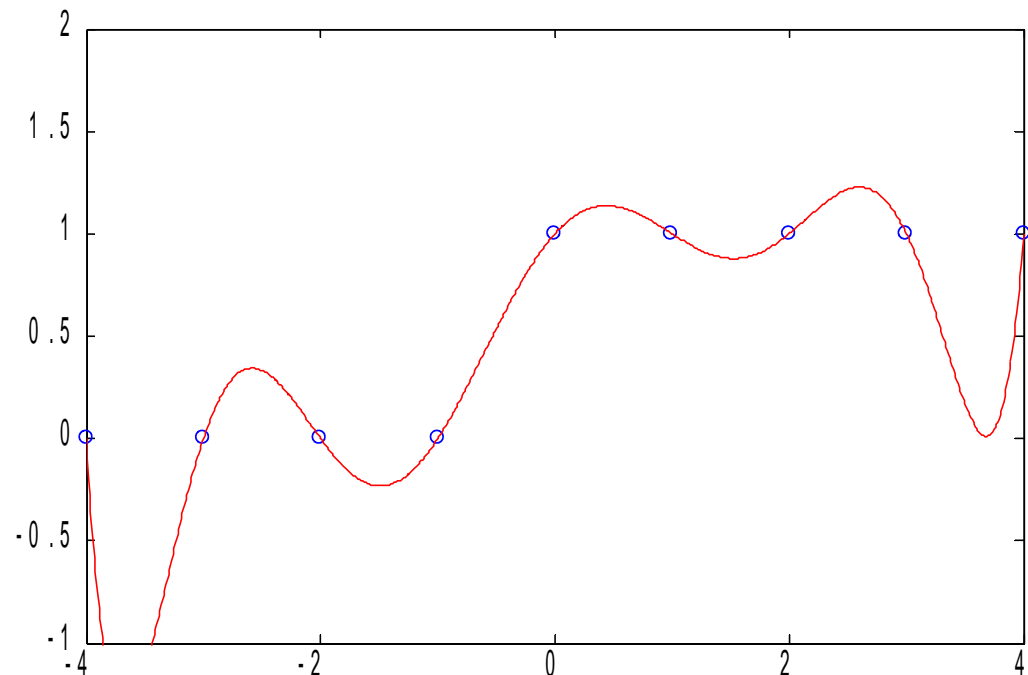
- Wielomian 8 stopnia

```
>> p=polyfit(x,y,8);
```

- Uwaga! Wielomian stopnia n przechodzi przez $n+1$ punktów

Interpolacja

funkcja dopasowująca
przechodzi przez
wszystkie zadane punkty



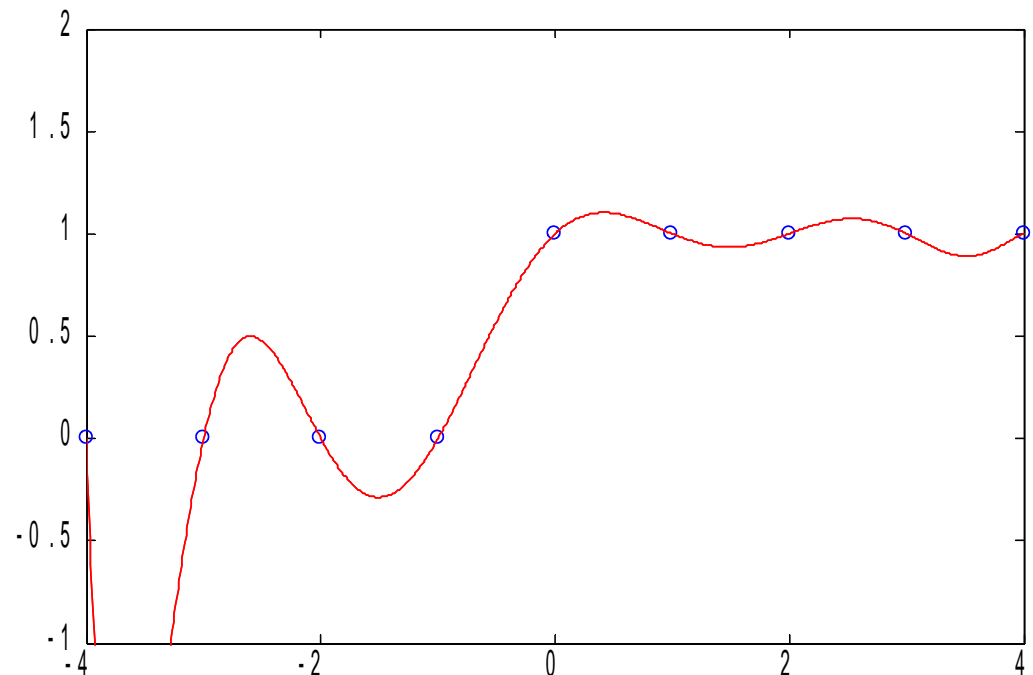
Interpolacja wielomianowa

- Wielomian 9 stopnia

```
>> p=polyfit(x,y,9);
```

Warning: Polynomial is not unique; degree \geq number of data points.

- istnieje wiele wielomianów 9 stopnia przechodzących przez 9 punktów



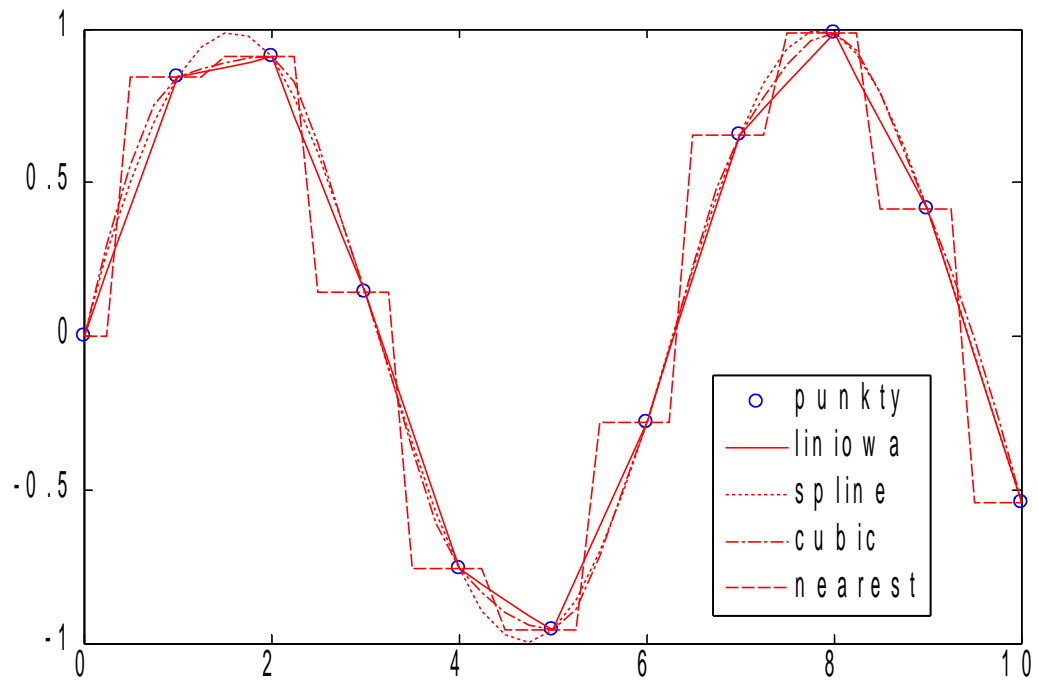
Aproksymacja, interpolacja i ekstrapolacja

- Aproksymacja
 - przybliżanie przebiegu funkcji za pomocą prostszych funkcji
- Interpolacja
 - wyznaczanie wartości funkcji (interpolującej) pomiędzy zadanymi punktami (węzłami interpolacji)
- Ekstrapolacja
 - prognozowanie wartości funkcji poza znanym zakresem

Interpolacja w Matlabie

- Interpolacja danych 1-D
 - funkcja `interp1`

```
x=0:10;  
y=sin(x);  
xi=0:0.25:10;  
yi=interp1(x,y,xi,'linear');  
yi2=interp1(x,y,xi,'spline');  
yi3=interp1(x,y,xi,'cubic');  
yi4=interp1(x,y,xi,'nearest');  
plot(x,y,'o',xi,yi,'r-', xi,yi2,'r:',xi,yi3,'r-.',xi,yi4,'r--')  
legend('punkty','liniowa','spline','cubic','nearest')
```

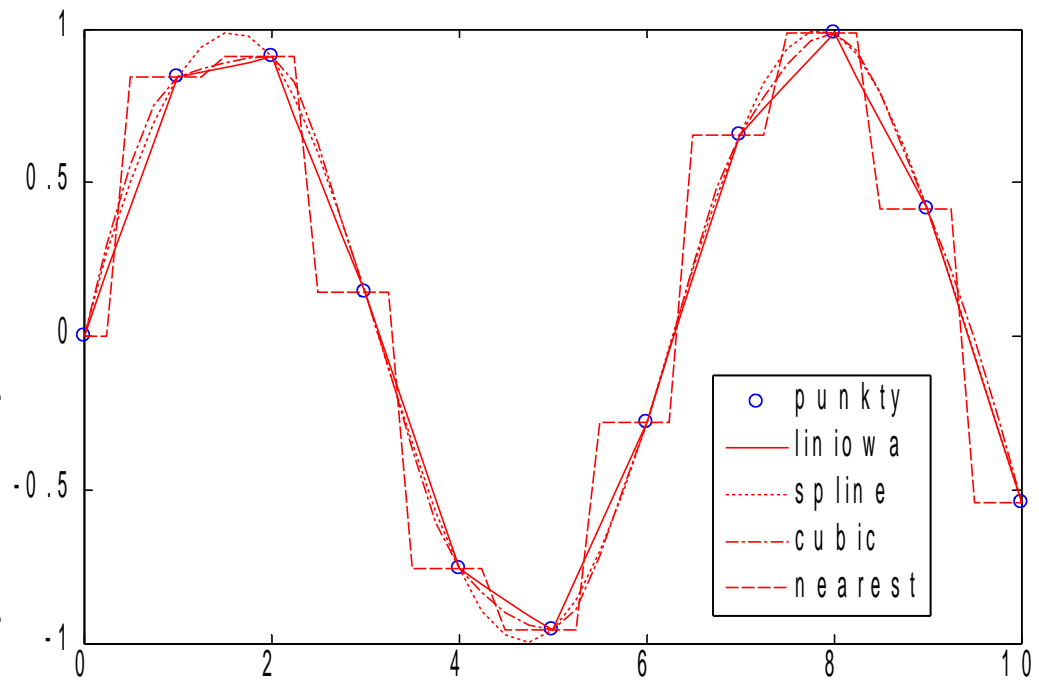


Interpolacja w Matlabie

- Interpolacja danych 1-D
 - funkcja `interp1`

Metody interpolacji

- `linear` – liniowa
- `spline`
 - sklejenie wielomianów 3-st. gładkie, podatne na oscylacje
- `cubic`
 - sklejenie wielomianów 3-st. mniej gładkie, mniej oscylacji
- `nearest`
 - najbliższy sąsiad (schodki)



Użyteczne funkcje

Interpolacja

- `interp1`, `interp2` – 1- i 2-wymiarowa
- `interp3`, `interpN` – 3- i N-wymiarowa
- `interpft` – 1-wymiarowa z użyciem FFT
- `griddata` – 2-wymiarowa na siatce (por. `meshgrid`)
- `griddata3`, `griddataN` – 3- i N-wymiarowa na siatce
- `spline` – 1-wym. funkcją sklejaną (por. `interp1`)
- `ppval` – wylicza wartości funkcji sklejaney

Ekstrapolacja

- powyższe funkcję mogą także służyć ekstrapolacji danych (ostrożnie!)

Program na dziś

- Obliczenia numeryczne
 - algebra liniowa
 - aproksymacja i interpolacja
 - **uchwyty funkcji**
 - funkcje anonimowe
 - generatory funkcji
 - całkowanie i różniczkowanie
 - równania różniczkowe zwyczajne

Uchwyt funkcji

- Tablica n-wymiarowa
 - **uchwyt funkcji** (`function_handle`)
 - odnośnik do funkcji
- Zastosowanie
 - przekazywanie uchwytu jako parametru funkcji
 - tworzenie funkcji anonimowych
 - generowanie funkcji sparametryzowanych

Uchwyt nazwanej funkcji

- Tworzenie obiektu `function_handle`

```
>> pierwiastek = @sqrt  
pierwiastek = @sqrt
```

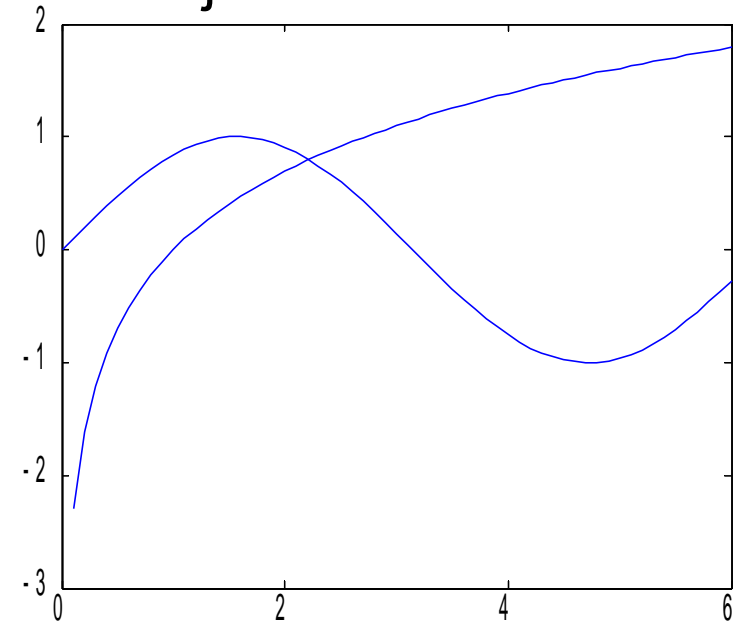
- Proste użycie

```
>> pierwiastek(9)  
ans = 3
```

- Przekazanie uchwytu funkcji jako parametru funkcji

```
function wykres(fun,zakres)  
%WYKRES rysuje wykres fun na zakres-ie  
y = fun(zakres);  
plot(zakres,y)
```

```
>> wykres(@sin,0:0.1:6), hold on  
>> wykres(@log,0:0.1:6)
```



Uchwyt funkcji anonimowej

- Tworzenie funkcji anonimowej – sposób na nazywanie wyrażeń

```
>> kwadrat = @(x)x.^2  
kwadrat = @(x)x.^2
```

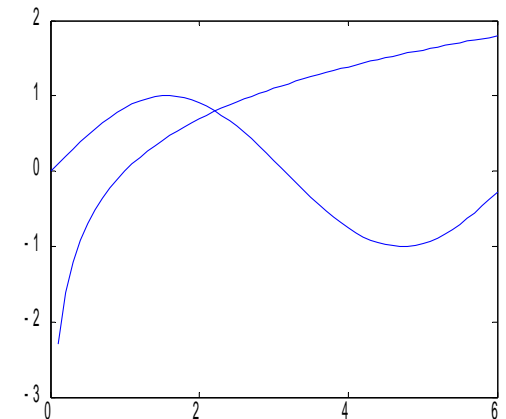
- Proste użycie

```
>> kwadrat(4)  
ans = 16
```

- Funkcja wykres jako anonimowa

```
>> wykres = @(fun,zakres)plot(zakres,fun(zakres))  
wykres = @(fun,zakres)plot(zakres,fun(zakres))
```

```
>> wykres(@sin,0:0.1:6), hold on  
>> wykres(@log,0:0.1:6)
```



Generatory funkcji

- Funkcja Gaussa (rozkład normalny)

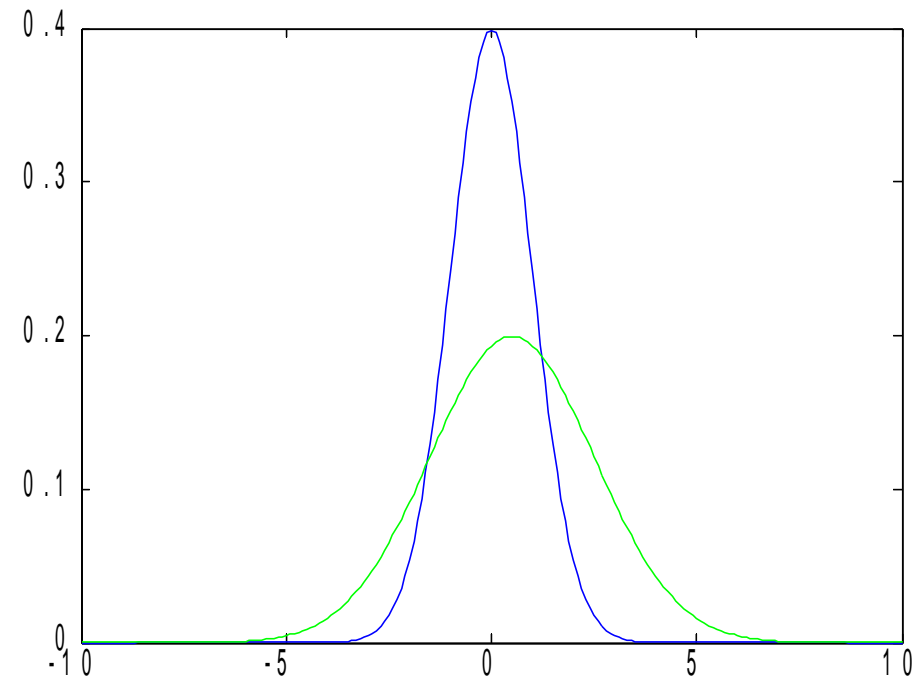
$$\phi_{\mu,\sigma}(x) = \frac{1}{\sigma\sqrt{2\pi}} \exp\left(\frac{-(x-\mu)^2}{2\sigma^2}\right)$$

```
function fg = utworzGaussa(mi,sigma)
%UTWORZGAUSSA tworzy funkcje gestosci rozkladu N(mi,sigma)

fg = @(x) 1/(sigma*sqrt(2*pi))*exp(-(x-mi).^2/(2*sigma^2));

>> N0_1 = utworzGaussa(0,1);
>> N05_2 = utworzGaussa(0.5,2);
>> x=-10:.1:10;
>> plot(x,N0_1(x),'b'), hold on
>> plot(x,N05_2(x),'g')
```

```
% N0_1 i N05_2 są uchwytami funkcji
% anonimowych
```



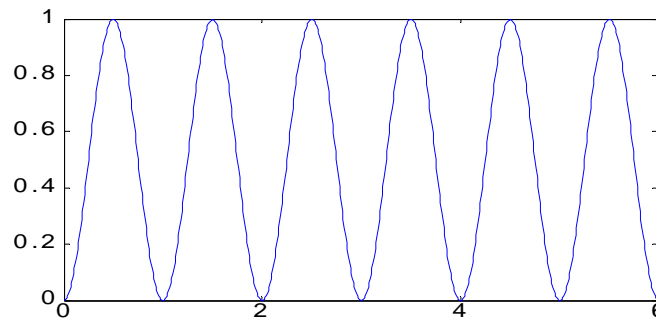
Program na dziś

- Obliczenia numeryczne
 - algebra liniowa
 - aproksymacja i interpolacja
 - uchwyt funkcji
 - **całkowanie i różniczkowanie numeryczne**
 - równania różniczkowe zwyczajne

Kumulacja glonów – model

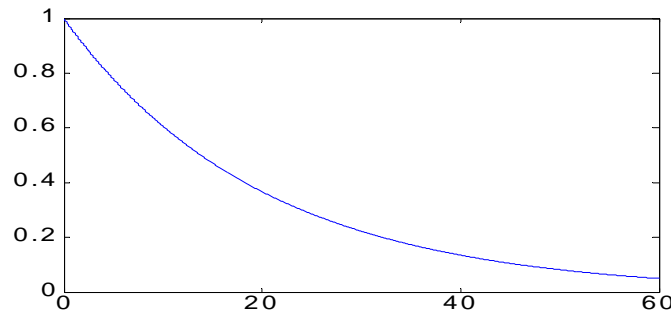
- Problem:
 - kumulacja glonów w jeziorze
 - model matematyczny:
 - dzienna oscylacja przyrostu:

$$\sin(\pi \cdot t) \cdot ^2$$



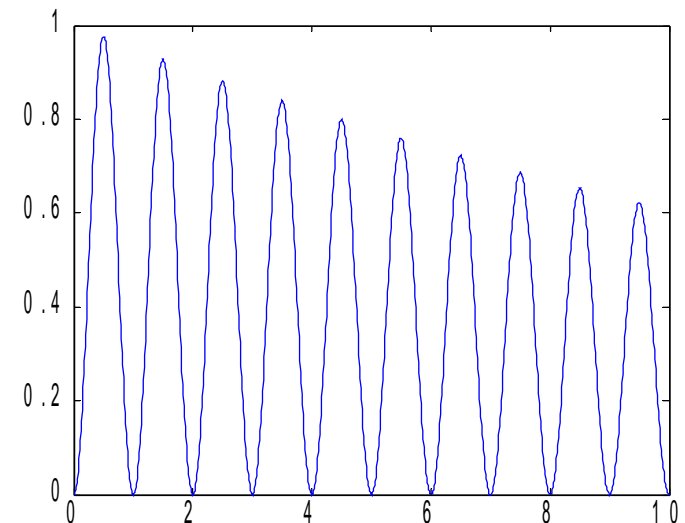
- ubytek tlenu w wodzie:

$$\exp(-0.05 \cdot t)$$



Kumulacja glonów – model (2)

- Problem:
 - kumulacja glonów w jeziorze
 - model matematyczny:
 - dzienna oscylacja przyrostu:
 $\sin(\pi * t) .^2$
 - ubytek tlenu w wodzie:
 $\exp(-0.05 * t)$
 - **kompletny model:**
 $y = \exp(-0.05 * t) .* \sin(\pi * t) .^2$



Kumulacja glonów – problem

- Zadania
 - ilość glonów po n dniach kumulacji
 - czy i po jakim czasie populacja się ustabilizuje
- Rozwiązanie
 - policzenie całki
 - analityczne (na papierze, toolbox Symbolic Math)
 - **numeryczne**

Całkowanie numeryczne

Metoda trapezów

- Zadania

- ilość glonów po n dniach kumulacji

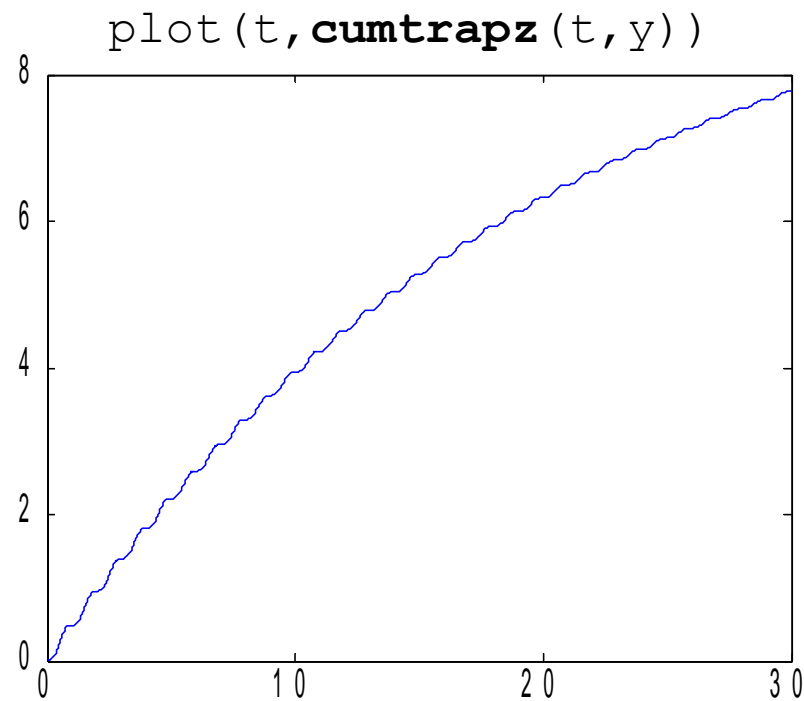
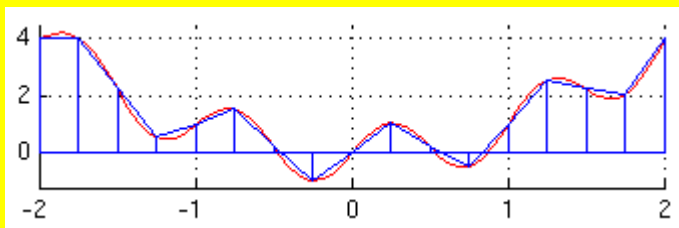
- po 7 dniach:

```
>> t=0:0.01:7;  
>> y=exp(-0.05*t).*sin(pi*t).^2;  
>> Y7 = trapz(t,y)  
Y7 = 2.9529
```

- po 30 dniach:

```
>> t=0:0.01:30;  
>> y=exp(-0.05*t).*sin(pi*t).^2;  
>> Y30 = trapz(t,y)  
Y30 = 7.7682
```

trapz, cumtrapz – metoda trapezów



Całkowanie numeryczne

Metoda adaptacyjna

- Dokładniejsze obliczanie całki oznaczonej
 - metoda adaptacyjna Simpsona
- Idea:
 - podajemy
 - całkowaną funkcję, np. `exp(-0.05*t).*sin(pi*t).^2`
 - podajemy zakres $[a, b]$, np. `[0, 30]`
 - podajemy oczekiwany błąd przybliżenia całki, std: `1e-6`
 - przybliżamy całkowaną funkcję parabolami
 - obliczamy błąd przybliżenia
 - jeśli za duży dzielimy przedział całkowania na pół

Całkowanie numeryczne

Tolerancja błędu

```
Y = quad(FUN,A,B,TOL)
```

- FUN - uchwyt do funkcji
- A,B - zakres
- TOL - tolerancja błędu bezwzględnego (std: 1e-6)

```
>> wzrost_glonow = @(t) exp(-0.05*t).*sin(pi*t).^2  
wzrost_glonow = @(t)exp(-0.05*t).*sin(pi*t).^2
```

```
>> quad(wzrost_glonow,0,30)  
ans = 5.084959016383285
```

```
>> quad(wzrost_glonow,0,30,1e-7)  
ans = 7.292598184528123
```

```
>> quad(wzrost_glonow,0,30,1e-8)  
ans = 7.768206472952495
```

```
% >> trapez(t,wzrost_glonow(t))  
% ans = 7.768206471062230  
% Uwaga! dobra dokładność trapez  
% dzięki dt=0.01
```

```
>> quadl(wzrost_glonow,0,30)  
ans = 7.768206471093651
```

**quadl – metoda adaptacyjna Lobatto
bardziej efektywna dla f. gładkich**

Całkowanie numeryczne

Granica w nieskończoności

- Czy przyrost glonów zakończy się?
 - granica całki oznaczonej w nieskończoności

```
>> quadl(wzrost_glonow,0,30)
ans =      7.7682
```

```
>> quadl(wzrost_glonow,0,90)
ans =      9.8883
```

```
>> quadl(wzrost_glonow,0,365)
ans =      9.9994
```

```
>> quadl(wzrost_glonow,0,1000)
ans =      9.9994
```

```
>> quadl(wzrost_glonow,0,10000)
ans = 1.7468e-017
```

% zły wynik!

```
>> quadl(wzrost_glonow,0,Inf)
```

Warning: Minimum step size reached; singularity possible.

> In quadl at 104

```
ans =      NaN
```

% jakiś problem

```
>> quadgk(wzrost_glonow,0,Inf)
ans =      9.9994      % ok!
```

quadgk – metoda Gaussa-Kronroda
- bardziej efektywna dla oscylacji
- działa na przedziałach nieskończonych

Różniczkowanie numeryczne

- Pochodna jest granicą ilorazu różnicowego

$$\lim_{\Delta x \rightarrow 0} \frac{f(x_0 + \Delta x) - f(x_0)}{\Delta x}$$

- Iloraz różnicowy opisuje

- przyrost funkcji $\Delta y = f(x_0 + \Delta x) - f(x_0)$
- na przedziale Δx

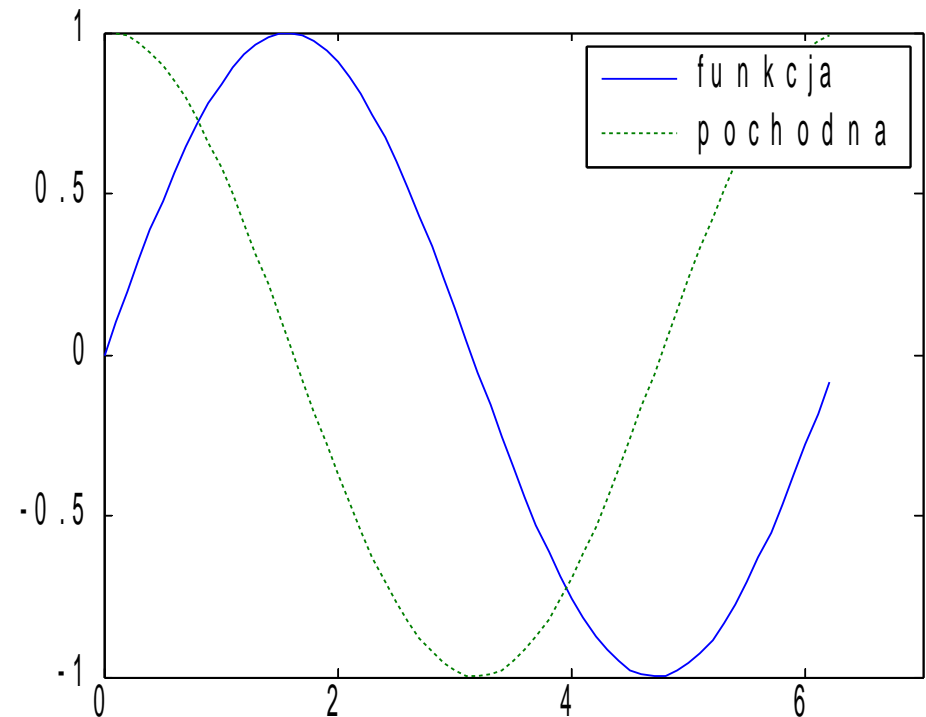
$$\frac{f(x_0 + \Delta x) - f(x_0)}{\Delta x} = \frac{\Delta y}{\Delta x}$$

- Mając wektor argumentów i wartości funkcji
- łatwo policzymy iloraz różnicowy przybliżający pochodną

```
>> ypoch = diff(y)./diff(x)
```

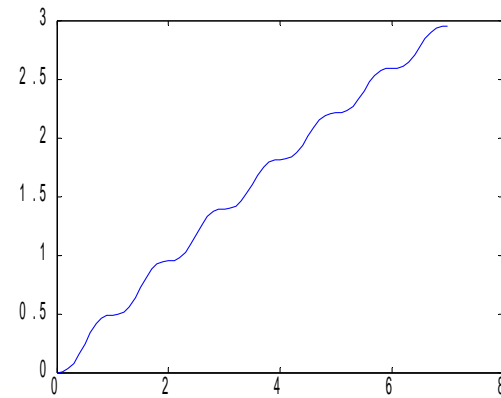
Różniczkowanie numeryczne przykład

```
>> x=[0:0.1:2*pi];  
>> funkcja=sin(x);  
  
>> pochodna=diff(funkcja)./diff(x);  
  
>> plot(x, funkcja, x(2:end),pochodna,':');  
>> legend(' funkcja ', ' pochodna ');
```

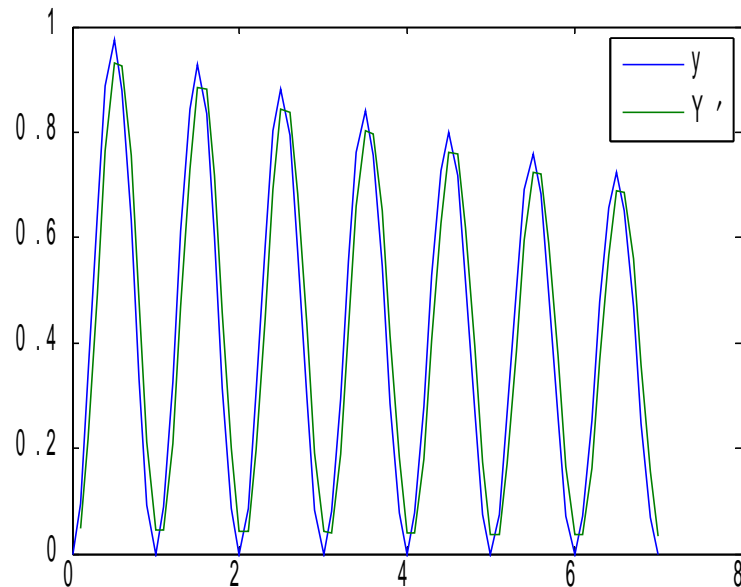


Różniczkowanie numeryczne przykład (2)

```
>> t= 0:0.1:7;  
>> y = exp(-0.05*t).*sin(pi*t).^2;  
  
>> Y = cumtrapz(t,y);  
  
>> plot(t,Y);
```



```
>> Ypoch = diff(Y)./diff(t);  
  
>> plot(t,y,t(2:end),Ypoch)  
>> legend('y','Y\prime')
```



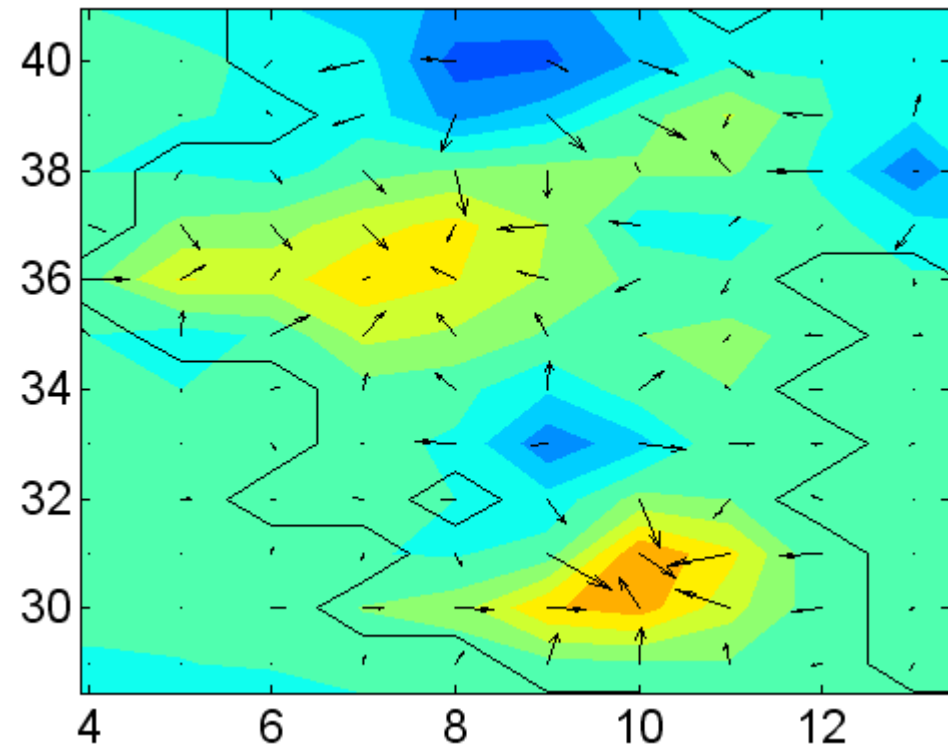
Gradient numeryczny

```
% F - wolumetryczna mapa potencjału wokół kanału białkowego  
  
% Rysujemy kontury przekroju wzdłużnego białka  
>> contour(n_mask(:, :, round(zMax/2)), 1, 'LineColor', 'k'); hold on;  
  
% oraz wykres izoliniowy potencjału:  
>> contourf(F(:, :, round(zMax/2)), [-1:.1:1]); shading flat;  
  
% Liczymy gradient w przekroju przez środek (zMax/2):  
>> [px, py] = gradient(F(:, :, round(zMax/2)));  
  
% Rysujemy kierunki gradientu:  
>> quiver(px, py, 'k')
```

gradient – gradient numeryczny

pole wektorowe o składowych będących
pochodnymi cząstkowymi w kierunku wektorów
układu współrzędnych

$$\nabla F = \frac{\partial F}{\partial x} \hat{i} + \frac{\partial F}{\partial y} \hat{j} + \frac{\partial F}{\partial z} \hat{k} + \dots$$



Użyteczne funkcje

Całkowanie numeryczne

- `quad` - metoda adaptacyjna Simpsona do niższych dokładności, f. niegładkie
- `quadl` - metoda adaptacyjna Lobatto do wyższych dokładności, f. gładkie
- `quadgk` - metoda Gaussa-Kronroda do wyższych dokładności, f. oscylujące, nieskończone przedziały całkowania
- `dblquad`, `triplequad` - całki podwójne i potrójne
- `trapez`, `cumtrapz` - metoda trapezów

Różniczkowanie

- `diff` - różnica elementów wektora
- `gradient` - przybliżony gradient

Program na dziś

- Obliczenia numeryczne
 - algebra liniowa
 - aproksymacja i interpolacja
 - uchwyt funkcji
 - całkowanie i różniczkowanie
 - **równania różniczkowe zwyczajne**
 - zagadnienie początkowe
 - równania wyższego rzędu

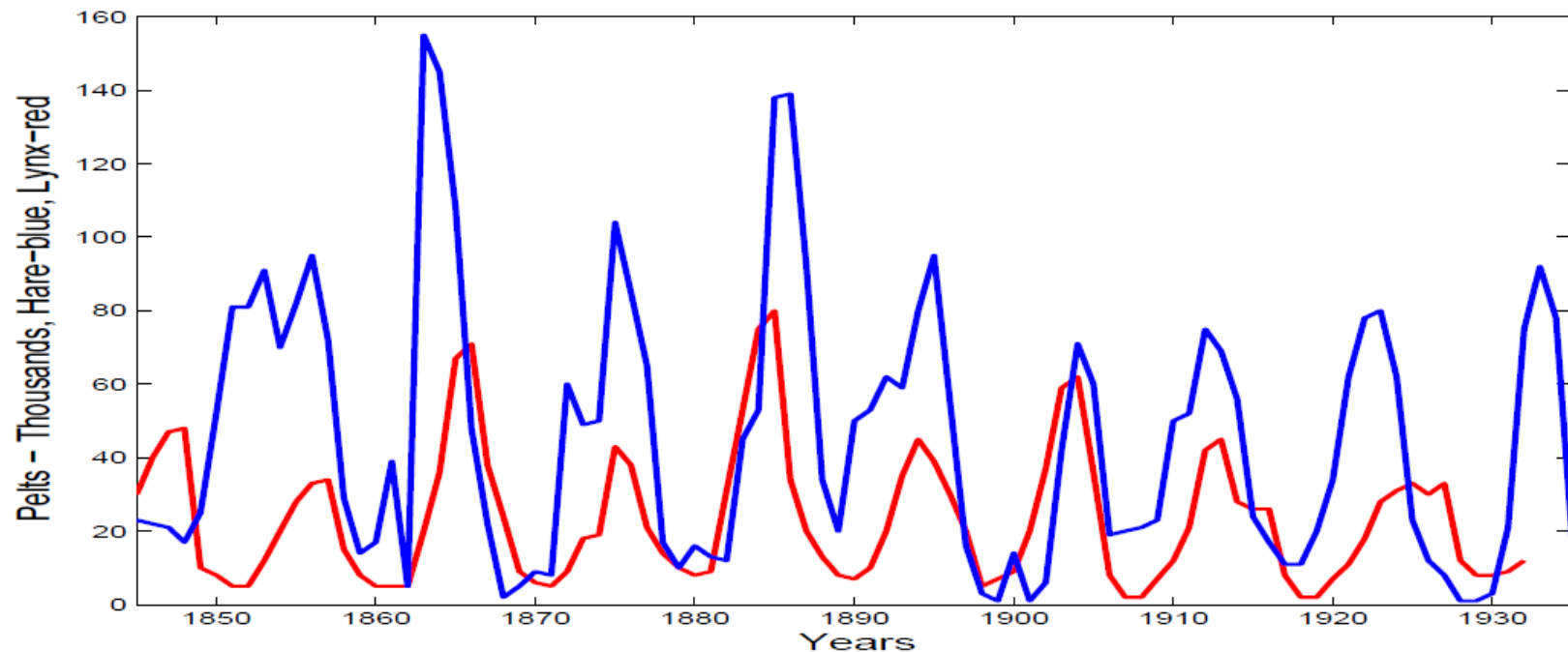
Zające i rysie

- Na przełomie XIX/XX wieku w Kanadzie
 - Hudson Bay Company skupowała futra zwierząt
 - m.in. zające i rysie



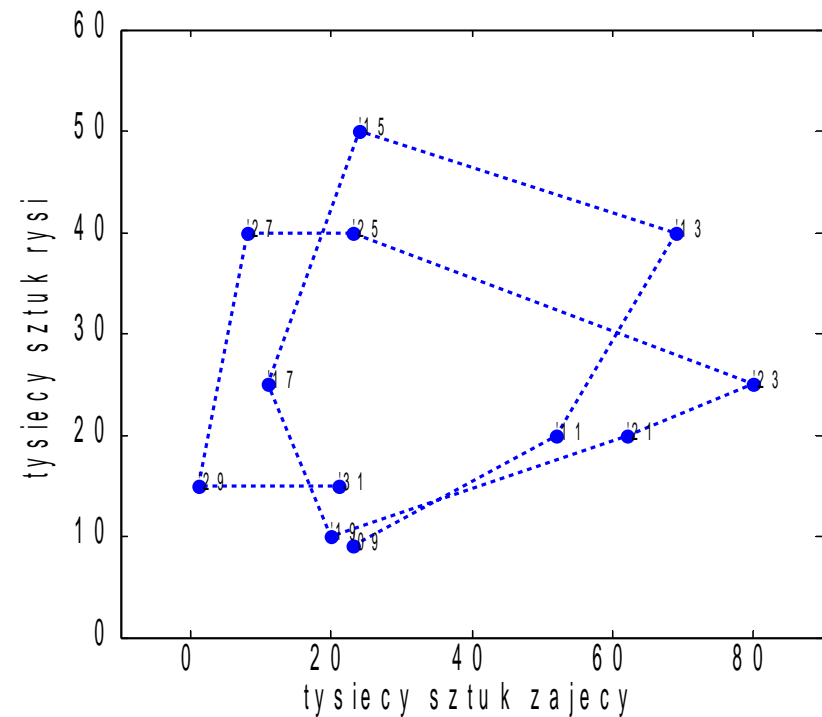
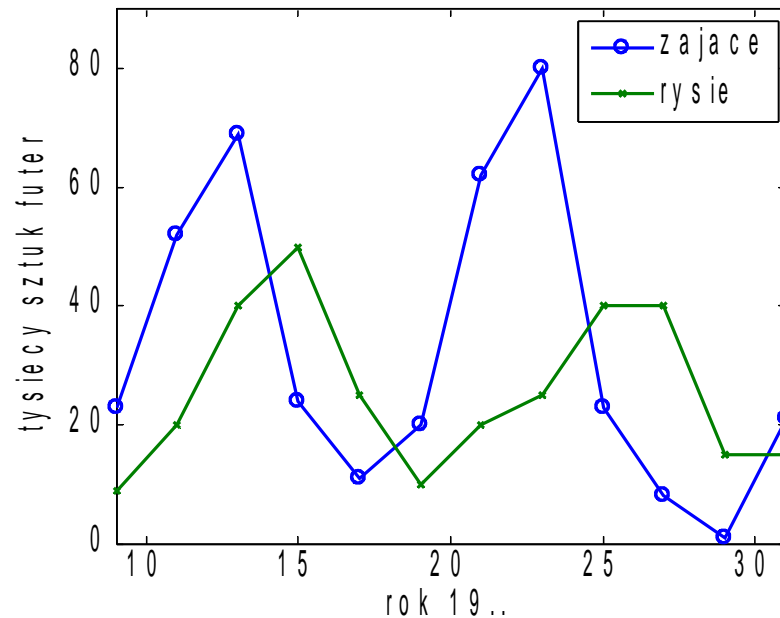
Zajęcie i rysie (2)

- Na przełomie XIX/XX wieku w Kanadzie
 - Hudson Bay Company skupowała futra zwierząt
 - skuteczność polowań zależała w dużej mierze od stanu populacji
 - na przestrzeni 90 lat zaobserwowano interesujące fluktuacje:



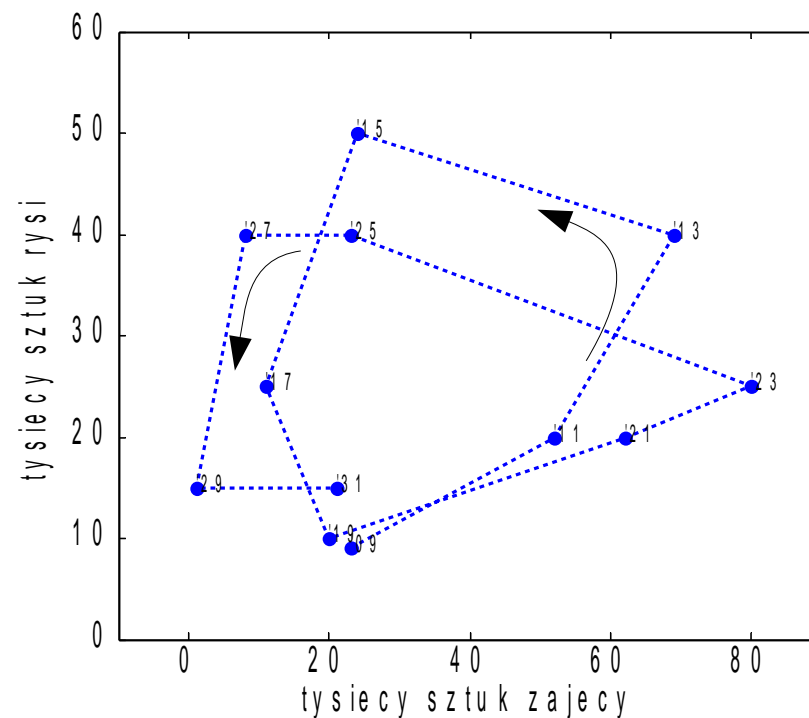
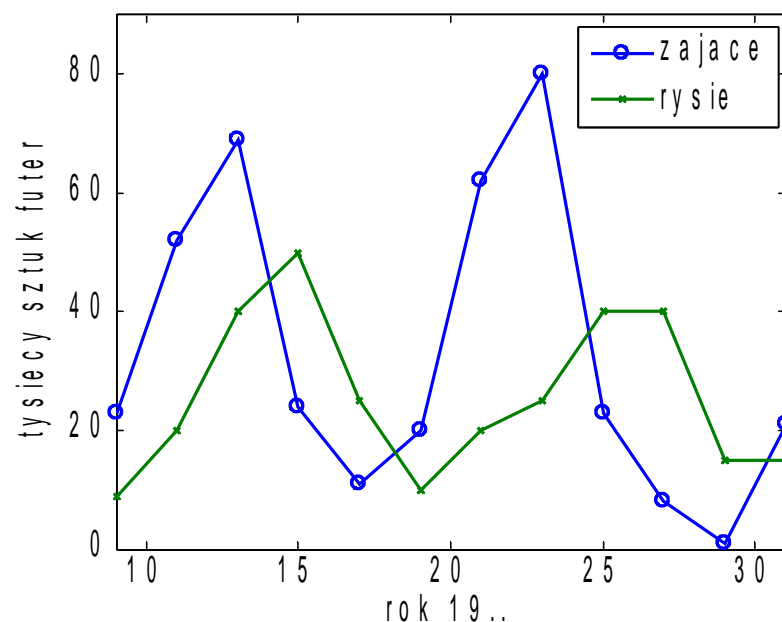
Dynamika populacji zajęcy i rysi

- Dane z lat 1909-1931
 - za D.A. McLulich, "Fluctuations in the numbers of the varying hare". Univ. Toronto Studies, Biol. Ser., No. 43 (1937)



Dynamika populacji zajęcy i rysi

- Interpretacja:
 - wzrost populacji zajęcy (1909-13, 1919-23)
 - pociąga za sobą wzrost populacji rysiów (1909-15, 1919-25)
 - wzrost liczby rysi powoduje spadek populacji zajęcy (1913-17, 1923-29)
 - spadek populacji zajęcy powoduje spadek populacji rysi (1915-19, 1927-29)



Model dynamiki populacji drapieżnik-ofiara

- Dwa gatunki – **ofiara** (np. zając) i **drapieżnik** (np. ryś)
- Populacja **ofiar**
 - **rośnie** proporcjonalnie do liczby ofiar
(im większa populacja, tym więcej rodzi się)
 - **spada** proporcjonalnie do
 - liczby ofiar (im większa populacja, tym więcej umiera)
 - liczby drapieżników (im większa populacja drapieżników, tym więcej ofiar ginie)
- Populacja **drapieżników**
 - **rośnie** proporcjonalnie do
 - liczby drapieżników (im większa populacja, tym więcej rodzi się)
 - liczby ofiar (im większa populacja ofiar, tym więcej drapieżników może się urodzić)
 - **spada** proporcjonalnie do liczby drapieżników
(im większa populacja, tym więcej umiera)

Model Lotki-Volterra

- Populacja drapieżców – $v(t)$
- Populacja ofiar – $u(t)$

Lotka, A.J. (1920), "Analytical Note on Certain Rhythmic Relations in Organic Systems", Proc. Natl. Acad. Sci. U.S., 6, 410-415,
<http://www.ncbi.nlm.nih.gov/pmc/articles/PMC1084562/pdf/pnas01916-0016.pdf>

A.J.Lotka (1925), 'Elements of Physical Biology' reprinted by Dover in 1956 as Elements of Mathematical Biology.
<http://ia600307.us.archive.org/35/items/elementsofphysic017171mbp/elementsofphysic017171mbp.pdf>

Volterra, V., "Variazioni e fluttuazioni del numero d'individui in specie animali conviventi", Mem. Acad. Lincei Roma, 2, 31-113, (1926)

Model Lotki-Volterra

- Populacja drapieżców – $v(t)$
 - rośnie proporcjonalnie do liczby ofiar i drapieżników: $v'(t) = c * u(t) * v(t)$
 - spada proporcjonalnie do liczby drapieżników: $u'(t) = -d * v(t)$
 - mamy więc:

$$v'(t) = c * u(t) * v(t) - d * v(t) = [c * u(t) - d] * v(t)$$

- Populacja ofiar – $u(t)$

Lotka, A.J. (1920), "Analytical Note on Certain Rhythmic Relations in Organic Systems", Proc. Natl. Acad. Sci. U.S., 6, 410-415,
<http://www.ncbi.nlm.nih.gov/pmc/articles/PMC1084562/pdf/pnas01916-0016.pdf>

A.J.Lotka (1925), 'Elements of Physical Biology' reprinted by Dover in 1956 as Elements of Mathematical Biology.

<http://ia600307.us.archive.org/35/items/elementsofphysic017171mbp/elementsofphysic017171mbp.pdf>

Volterra, V., "Variazioni e fluttuazioni del numero d'individui in specie animali conviventi", Mem. Acad. Lincei Roma, 2, 31-113, (1926)

Model Lotki-Volterra

- Populacja drapieżców – $v(t)$

- rośnie proporcjonalnie do liczby ofiar i drapieżników: $v'(t) = c * u(t) * v(t)$
- spada proporcjonalnie do liczby drapieżników: $u'(t) = -d * u(t)$
- mamy więc:

$$v'(t) = c * u(t) * v(t) - d * v(t) = [c * u(t) - d] * v(t)$$

- Populacja ofiar – $u(t)$

- rośnie proporcjonalnie do liczby ofiar: $u'(t) = a * u(t)$
- spada proporcjonalnie do liczby ofiar i drapieżników: $u'(t) = -b * u(t) * v(t)$
- mamy więc:

$$u'(t) = a * u(t) - b * u(t) * v(t) = [a - b * v(t)] * u(t)$$

Lotka, A.J. (1920), "Analytical Note on Certain Rhythmic Relations in Organic Systems", Proc. Natl. Acad. Sci. U.S., 6, 410-415,
<http://www.ncbi.nlm.nih.gov/pmc/articles/PMC1084562/pdf/pnas01916-0016.pdf>

A.J.Lotka (1925), 'Elements of Physical Biology' reprinted by Dover in 1956 as Elements of Mathematical Biology.

<http://ia600307.us.archive.org/35/items/elementsofphysic017171mbp/elementsofphysic017171mbp.pdf>

Volterra, V., "Variazioni e fluttuazioni del numero d'individui in specie animali conviventi", Mem. Acad. Lincei Roma, 2, 31-113, (1926)

Model Lotki-Volterra (2)

- Układ równań różniczkowych zwyczajnych

$$u'(t) = a * u(t) - b * u(t) * v(t) = [a - b * v(t)] * u(t)$$

$$v'(t) = c * u(t) * v(t) - d * v(t) = [c * u(t) - d] * v(t)$$

Model Lotki-Volterra (2)

- Układ równań różniczkowych zwyczajnych

$$u'(t) = a * u(t) - b * u(t) * v(t) = [a - b * v(t)] * u(t)$$

$$v'(t) = c * u(t) * v(t) - d * v(t) = [c * u(t) - d] * v(t)$$

Przypomnienie:

- równania różniczkowe (ang. *Differential Equations*)
 - występują pochodne szukanej funkcji
- równania różniczkowe zwyczajne (ang. *Ordinary Differential Equations – ODE*)
 - zależą od tylko jednej zmiennej niezależnej

Równania różniczkowe

- Układ równań różniczkowych
 - opis dynamiki systemu
 - baaardzo szerokie zastosowanie:
 - m.in. w fizyce, inżynierii, biologii, medycynie, ekonomii
- Zagadnienie początkowe (*initial value problem*)
 - jak wygląda ewolucja systemu opisanego
 - układem równań różniczkowych
 - wartościami początkowymi

Rozwiązanie zagadnienia początkowego

$$y'(t) = f(t, y(t))$$

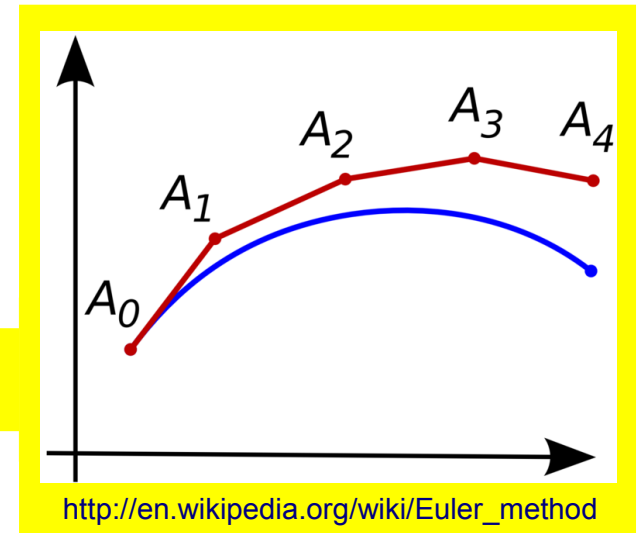
- Analityczne
 - znaleźć funkcję: $y(t)$
 - która spełnia warunek początkowy: $y(t_0) = y_0$
 - czy rozwiązanie istnieje i jest jednoznaczne?

Rozwiązanie zagadnienia początkowego

$$y'(t) = f(t, y(t))$$

- Analityczne
 - znaleźć funkcję: $y(t)$
 - która spełnia warunek początkowy: $y(t_0) = y_0$
 - czy rozwiązanie istnieje i jest jednoznaczne?
- Numeryczne
 - aproksymacja kolejnych wartości $y(t)$
 - idea (metoda Eulera):

$$y(t+1) = y(t) + y'(t)$$



Rozwiązanie zagadnienia początkowego w MATLABIE

- Metoda Eulera nie jest zbyt dokładna ani stabilna
- Przeważnie stosuje się bardziej zaawansowane schematy
 - w MATLABie zostały zaimplementowane m.in. metody
 - Rungego-Kutty rzędu 4 i 5 (`ode45`) – standardowy, średnia dokł.
 - Rungego-Kutty rzędu 2 i 3 (`ode23`) – do rozw. niskiej dokładności
 - Adamsa-Bashforda-Moultona (`ode113`) – do rozwiązań gładkich

Rozwiązanie zagadnienia początkowego w MATLABIE

- Metoda Eulera nie jest zbyt dokładna ani stabilna
- Przeważnie stosuje się bardziej zaawansowane schematy
 - w MATLABie zostały zaimplementowane m.in. metody
 - Rungego-Kutty rzędu 4 i 5 (`ode45`) – standardowy, średnia dokł.
 - Rungego-Kutty rzędu 2 i 3 (`ode23`) – do rozw. niskiej dokładności
 - Adamsa-Bashforda-Moultona (`ode113`) – do rozwiązań gładkich

```
[tout,yout] = odeXX(odefun, tspan, y0, options, params)
```

- `odefun` – uchwyt funkcji liczącej pochodną
- `tspan` – zakres zmiennej niezależnej [`t0 t_koniec`]
- `y0` – wartości początkowe
- `options` – parametry algorytmu, m.in tolerancja błędu
- `params` – parametry przekazywane `odefun`

odefun: Lotka-Volterra

- Układ równań różniczkowych zwyczajnych

$$u'(t) = [a - b*v(t)] * u(t)$$

$$v'(t) = [c*u(t) - d] * v(t)$$

```
function yp = lv(t,y,p)
%LV Model drapieżnik-ofiara Lotki-Volterra

u = y(1);      % wektor y zawiera wartości u(t) i v(t)
v = y(2);

a = p(1);      % wektor p zawiera parametry układu
b = p(2);
c = p(3);
d = p(4);

up = (a-b*v)*u;      % liczymy pochodne
vp = (c*u-d)*v;

yp = [up; vp];      % zwracamy wektor yp z wartościami u'(t) i v'(t)
```

odefun: Lotka-Volterra

- Układ równań różniczkowych zwyczajnych

$$u'(t) = [a - b*v(t)] * u(t)$$

$$v'(t) = [c*u(t) - d] * v(t)$$

```
function yp = lv(t,y,p)
%LV Model drapieżnik-ofiara Lotki-Volterra

% Zwięźle:
yp = [(p(1)-p(2)*y(2))*y(1); (p(3)*y(1)-p(4))*y(2)];
```

Solver ODE

model - lv.m:

$$\begin{aligned}u' &= [a - b*v] * u \\v' &= [c*u - d] * v\end{aligned}$$

warunki początkowe: $t_0 = 1909$, $u(0) = 23$, $v(0) = 9$;

współczynniki

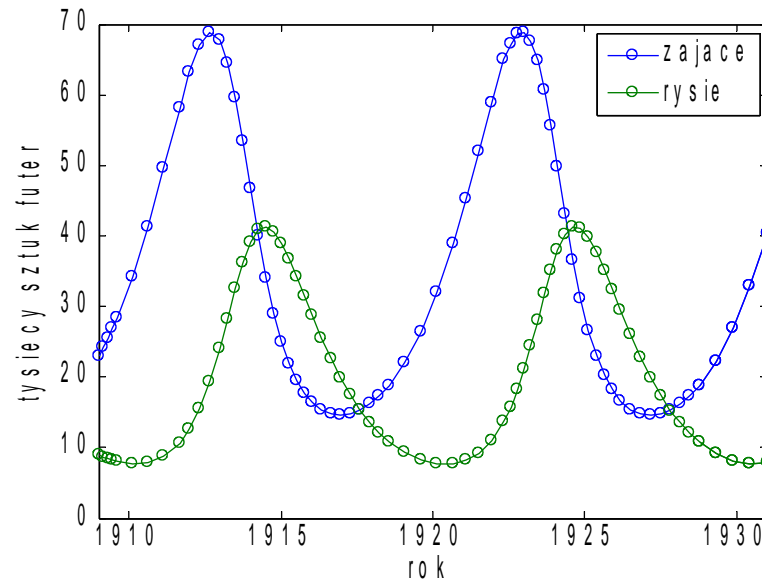
- urodzeń ofiar: $a = 0.6$
- zgonów ofiar: $b = 0.03$
- urodzeń drapieżników: $c = 0.02$
- zgonów drapieżników: $d = 0.7$

```
% [tout,yout] = odeXX(odefun, tspan, y0, options, params)
```

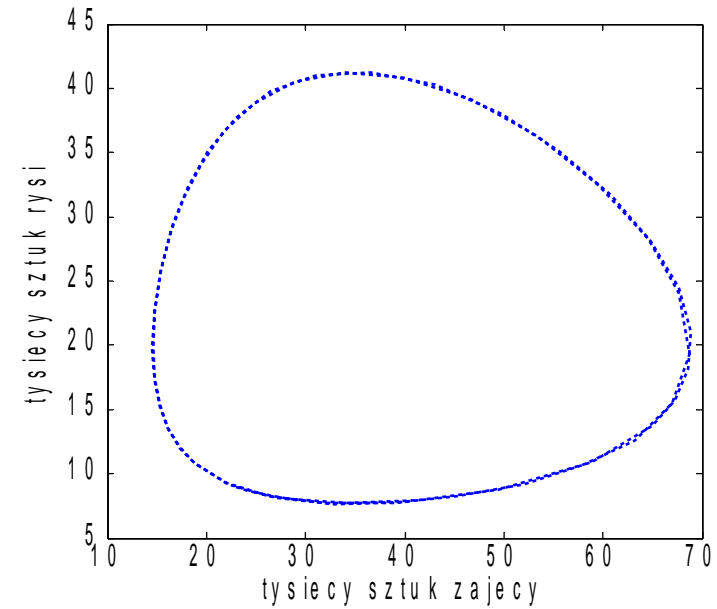
```
>> [t,y]=ode45(@lv,[1909 1931],[23 9],[],[0.6 0.03 0.02 0.7]);
```

Rozwiązanie numeryczne

Populacje w czasie $u(t)$, $v(t)$

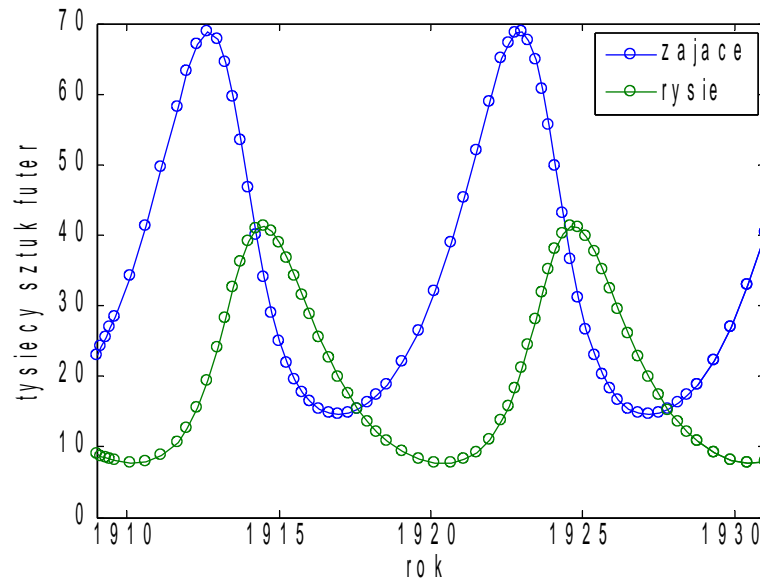


Wykres fazowy $v(u)$

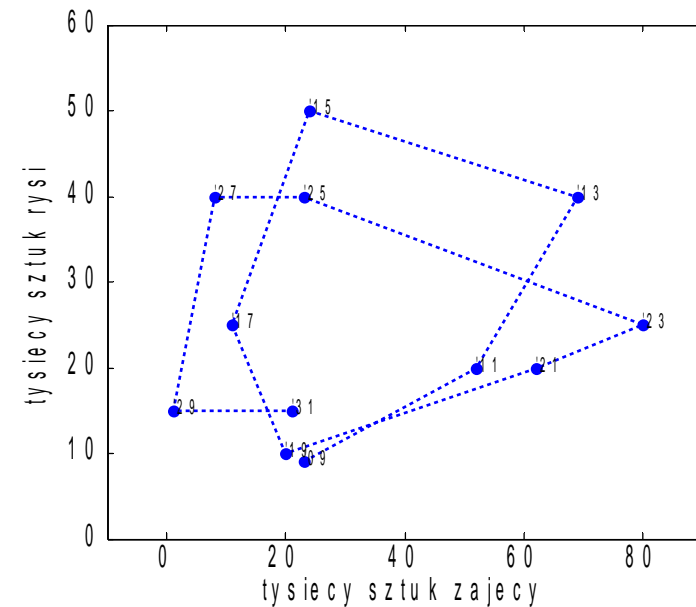
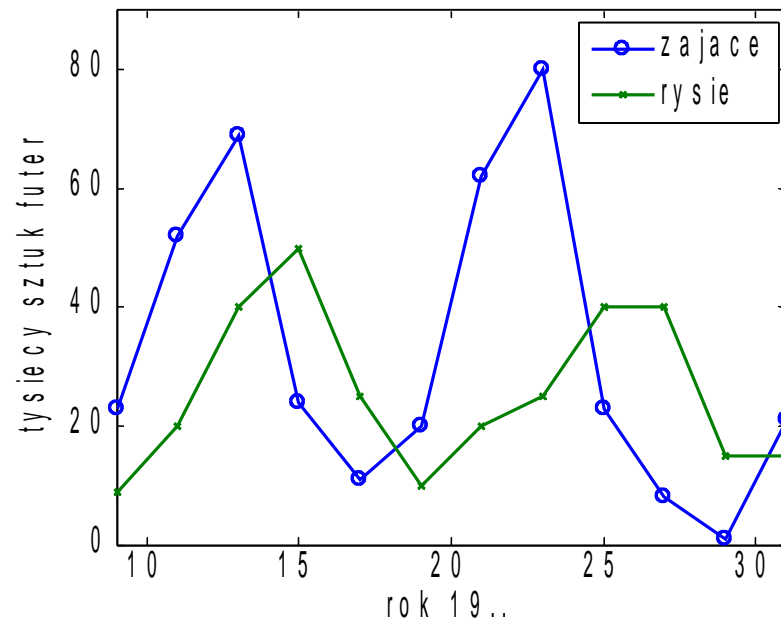
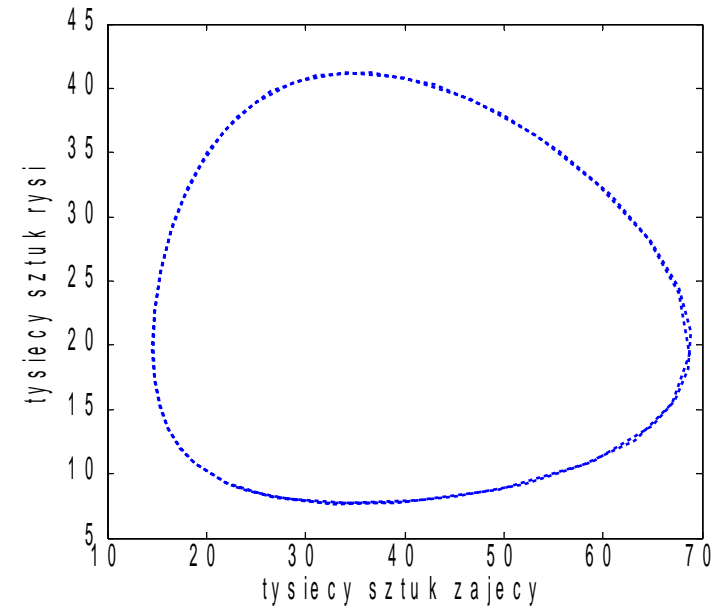


Rozwiązanie numeryczne

Populacje w czasie $u(t)$, $v(t)$



Wykres fazowy $v(u)$

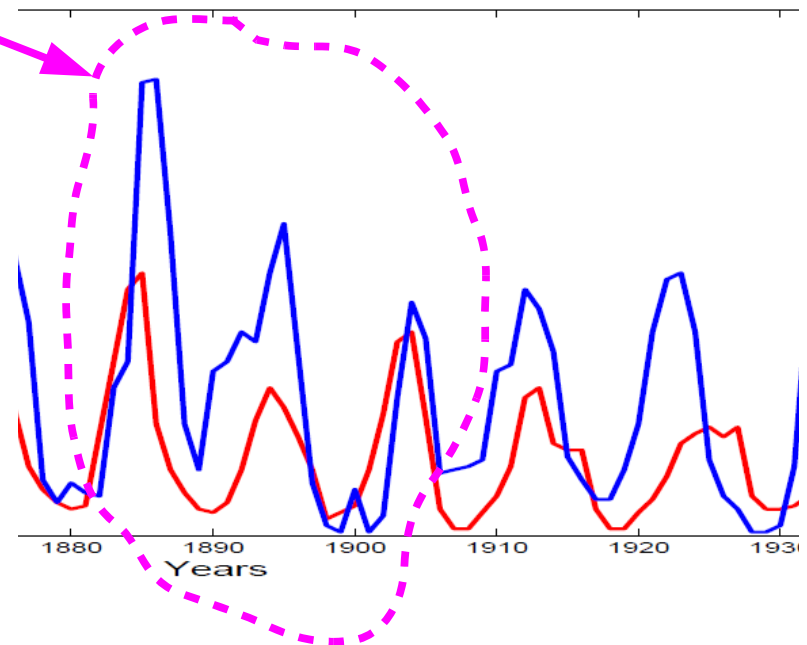


Uwaga!

- Porównanie danych
 - Hudson Bay Company
 - modelu Lotki-Volterra
- wypadło dość przekonująco

Uwaga!

- Porównanie danych
 - Hudson Bay Company
 - modelu Lotki-Volterra
- wypadło dość przekonująco, ale...
 - można znaleźć okresy, gdy dane niezgodne z modelem
 - sam model L-V bardzo uproszczony, m.in.
 - nie uwzględnia innych konsumentów zajęcy
 - brakuje ograniczenia na pojemność ekosystemu



Układ bezwymiarowy

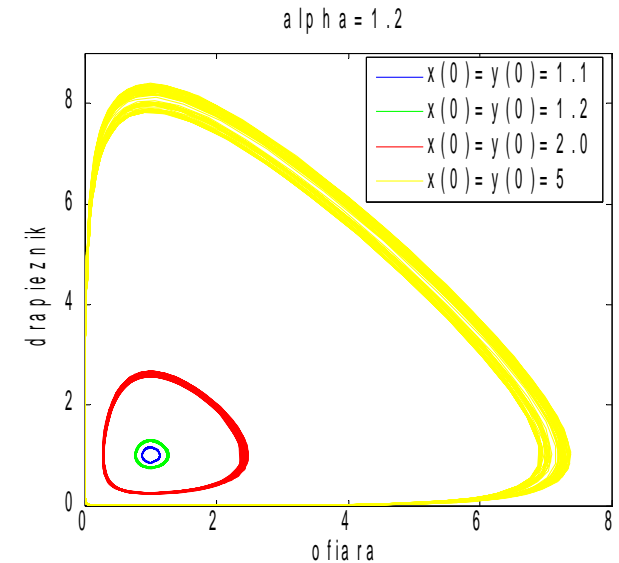
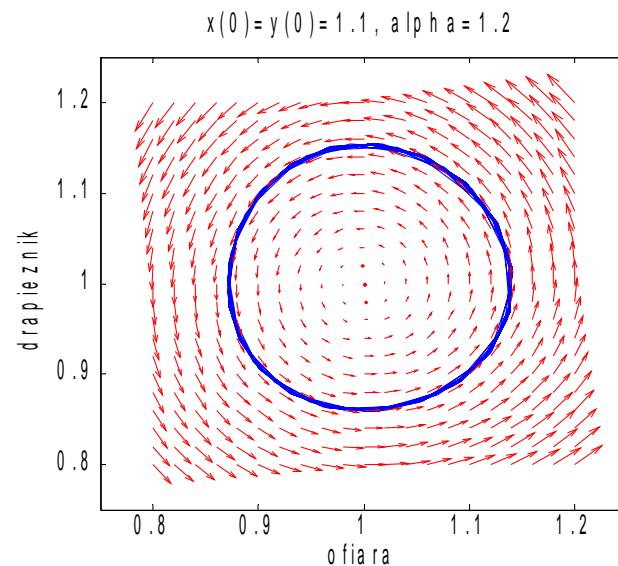
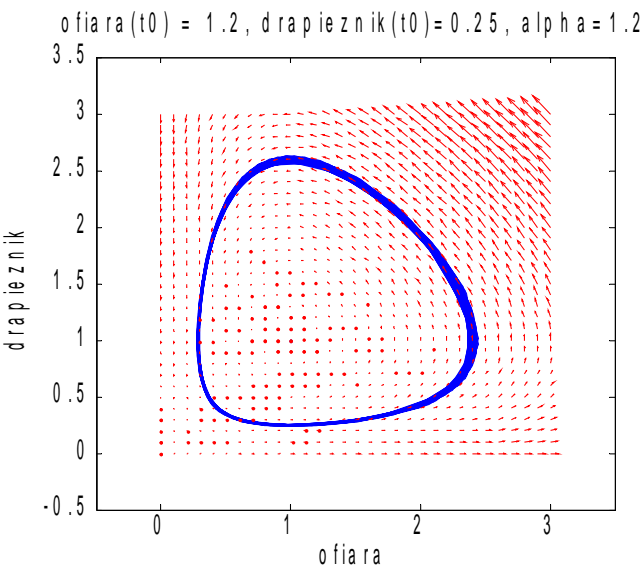
- Często ważniejsza od przewidzenia dokładnych wartości składowych układu jest analiza dynamiki systemu
- W przypadku Lotki-Volterra będzie to łatwiejsze
 - gdy zredukujemy liczbę parametrów stosując ubezwymiarowanie:
 - niech
$$s = at, \quad x(s) = c/d * u(t), \quad y(s) = b/a * v(t), \quad \alpha = d/a$$
 - wtedy
$$x'(s) = [1 - y(s)] * x(s)$$
$$y'(s) = [x(s) - 1] * \alpha * y(s)$$
 - gdzie: **alpha** – jest jedynym parameterem

Układ bezwymiarowy

- Często ważniejsza od przewidzenia dokładnych wartości składowych układu jest analiza dynamiki systemu
- W przypadku Lotki-Volterra będzie to łatwiejsze
 - gdy zredukujemy liczbę parametrów stosując ubezwymiarowanie:
 - niech
$$s = at, \quad x(s) = c/d * u(t), \quad y(s) = b/a * v(t), \quad \alpha = d/a$$
 - wtedy
$$x'(s) = [1 - y(s)] * x(s)$$
$$y'(s) = [x(s) - 1] * \alpha * y(s)$$
 - gdzie: **alpha** – jest jedynym parameterem

Trajektorie i portret fazowy

```
>> [t,y]=ode45(@lvbw2,[0 1000],[1.2 0.25],[],1.2);  
>> plot(y(:,1),y(:,2));  
  
>> [u, v] = meshgrid(0:1:20,0:0.5:10);  
>> up = (1-v).*u; % pochodne, liczone macierzowo  
>> vp = (u-1).*0.5.*v;  
>> hold on; quiver(u,v,up,vp,1.5,'r') % kierunek pola
```



Punkt krytyczny

$$x'(s) = [1 - y(s)] * x(s)$$

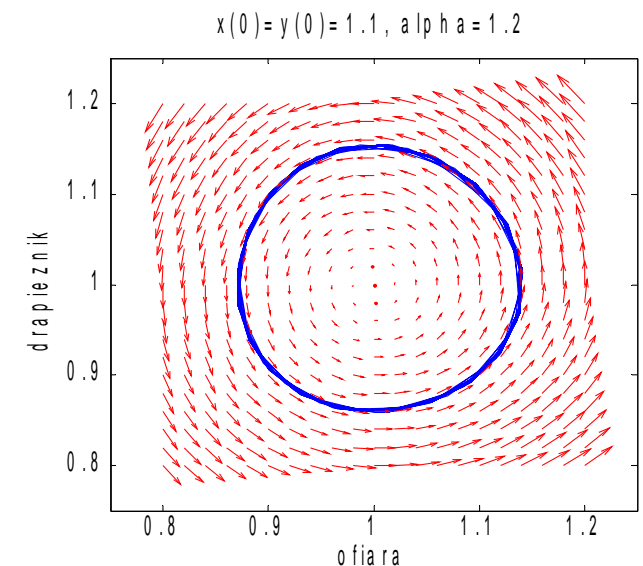
$$y'(s) = [x(s) - 1] * \alpha * y(s)$$

- Punkt krytyczny gdy:

$$x'(s) = y'(s) = 0$$

- czyli

$(x,y) = (1,1)$ jest punktem stacjonarnym



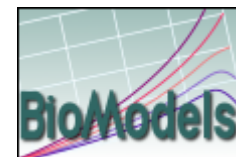
Po co uczyć się o zajęciach i rysiach?

- Modele różniczkowe są szeroko wykorzystywane w biomedycynie, np. w modelowaniu:
 - układu krążenia
 - cykli komórkowych
 - elektrofizjologii tkanek
 - regulacji ekspresji genów
 - transportu jonów

oraz projektowaniu nowych funkcji komórek (biologia syntetyczna)

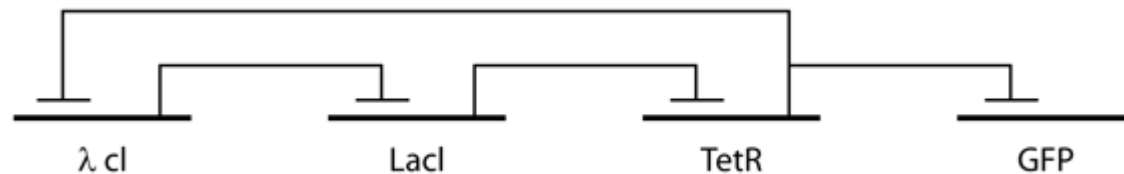
- Istnieją bazy modeli:

- <http://models.cellml.org/cellml>
- <http://www.ebi.ac.uk/biomodels-main/>



Oscylator Elowitza (represylator)

- Syntetyczna sieć regulacji ekspresji genów
 - bakterie *e.coli* zostały zaprogramowane do oscylacyjnego świecenia
 - pomysł opiera się na pętli sprzężenia zwrotnego
 - podobnej do obserwowanej pomiędzy zającami a rysiami



rys: <http://en.wikipedia.org/wiki/Repressilator>


Oscylator Elowitza – model

- Układ sześciu równań różniczkowych
 - opisujących zmianę ilości białek *lacI*, *tetR*, *cl* i ich mRNA

$$\begin{aligned}\frac{dm_i}{dt} &= -m_i + \frac{\alpha}{(1 + p_j^n)} + \alpha_0 & \begin{pmatrix} i = lacI, tetR, cl \\ j = cl, lacI, tetR \end{pmatrix} \\ \frac{dp_i}{dt} &= -\beta(p_i - m_i)\end{aligned}$$

- kod modelu m.in. w MATLABie na <http://models.cellml.org/cellml>

models.cellml.org/e/48/elowitz_leibler_2000.cellml/@cellml_codegen/MATLAB



Models Home Exposures Documentation

You are here: Home > Exposures > Elowitz, Leibler, 2000 > A Synthetic Oscillatory Network of Transcriptional Regulators

Log in | Register

Generated Code

The following is matlab code generated by the CellML API from this CellML file. ([Back to language selection](#))

The raw code is [available](#).

```
function [VOI, STATES, ALGEBRAIC, CONSTANTS] = mainFunction()
% This is the "main function". In Matlab, things work best if you rename this function to m
[VOI, STATES, ALGEBRAIC, CONSTANTS] = solveModel();
end

function [algebraicVariableCount] = getAlgebraicVariableCount()
% Used later when setting a global variable with the number of algebraic variables.
```

Model Curation

Curation Status: ★☆☆☆☆
OpenCell: ★☆☆☆☆
JSim: ★☆☆☆☆
COR: ★☆☆☆☆

Source

Derived from workspace Elowitz, Leibler 2000 at chappo

Uruchomienie modelu oscylatora

```
function [VOI, STATES, ALGEBRAIC, CONSTANTS] = solveModel()
% Create ALGEBRAIC of correct size
global algebraicVariableCount; algebraicVariableCount = getAlgebraicVariableCount();
% Initialise constants and state variables
[INIT_STATES, CONSTANTS] = initConsts;

% Set timespan to solve over
tspan = [0, 1000];

% Set numerical accuracy options for ODE solver
options = odeset('RelTol', 1e-06, 'AbsTol', 1e-06, 'MaxStep', 1);

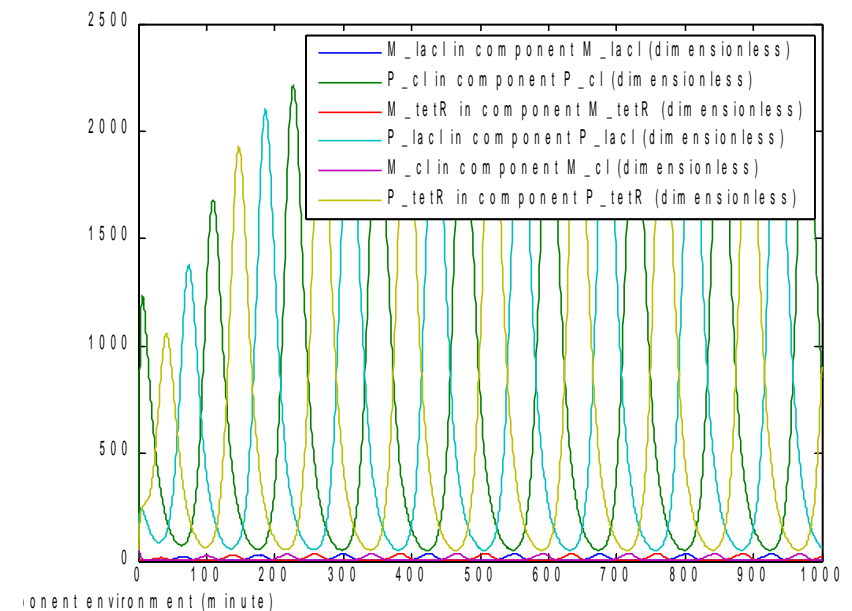
% Solve model with ODE solver
[VOI, STATES] = ode15s(@(VOI, STATES) computeRates(VOI, STATES, CONSTANTS), ...
    tspan, INIT_STATES, options);
```

...

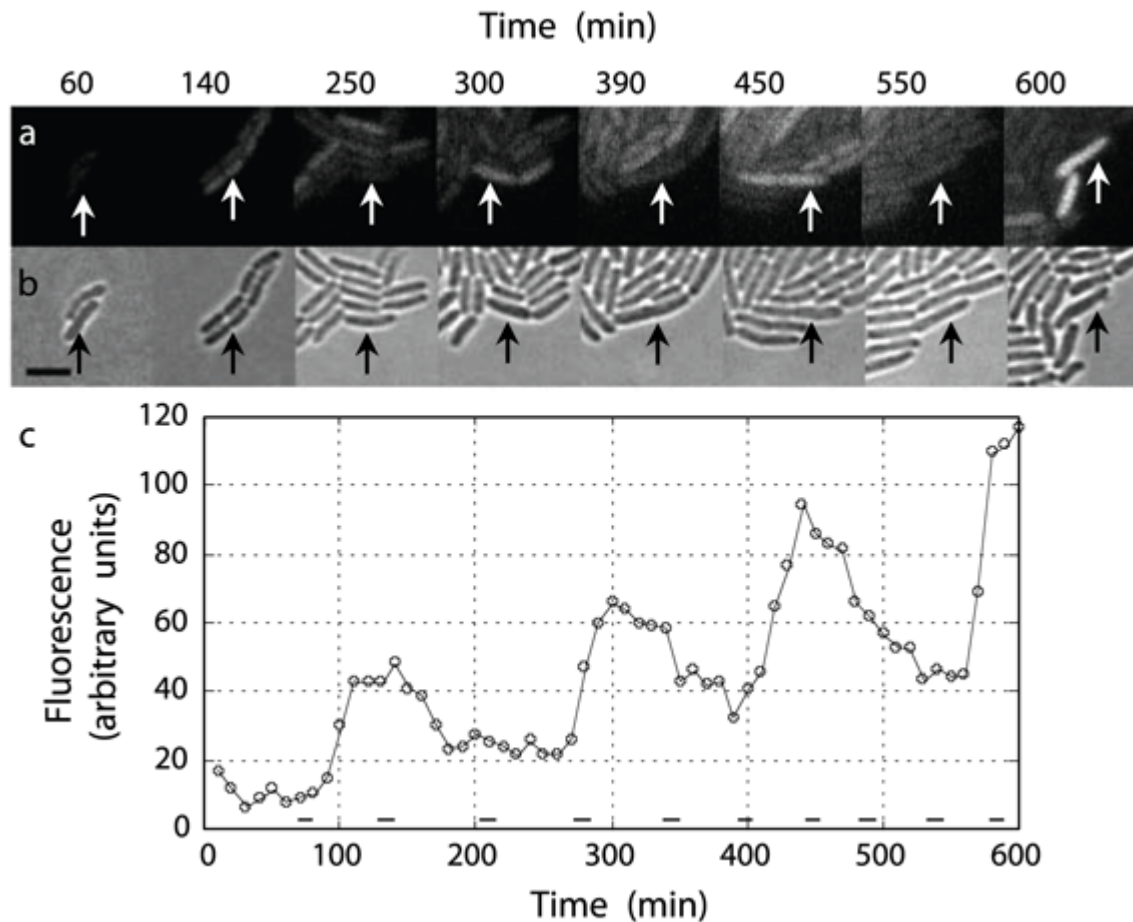
```
function [STATES, CONSTANTS] = initConsts()

STATES(:,1) = 10;           % ilość mRNA i białek
STATES(:,2) = 10;           % w chwili t0
STATES(:,3) = 10;
STATES(:,4) = 100;
STATES(:,5) = 80;
STATES(:,6) = 50;
```

Otrzymaliśmy syntetyczny oscylator!



Test w laboratorium



A Synthetic Oscillatory Network of Transcriptional Regulators; Michael Elowitz and Stanislas Leibler; Nature. 2000 Jan 20;403(6767):335-8. <http://www.elowitz.caltech.edu/publications/Repressilator.pdf>

Jeszcze o rozwiązywaniu ODE

- Układy sztywne
 - układ zawiera składowe szybkozmiennie i wolnozmiennie
 - metody rozwiązywania są niestabilne
 - mimo, że krok całkowania mały w stosunku do zmienności funkcji
- w MATLABie zostały zaimplementowane metody
 - NDF/BDF (`ode15s`) – jeśli `ode45` nie znajduje rozw. lub wolny
 - Rosenbrocka rzędu 2 (`ode23s`) – do rozw. niskiej dokładności
 - trapezowa (`ode23t`) – do rozw. umiarkowanie sztywnych
 - TR-BDF2 (`ode23t`) – do rozw. niskiej dokładności

Równania różniczkowe wyższych rzędów

- Wahadło matematyczne

$$\frac{d^2\theta}{dt^2} + \frac{g}{\ell} \sin \theta = 0$$

- θ – kąt wychylenia, g – przyspieszenie ziemskie, l – długość wahadła
- Innymi słowy:

$$\theta''(t) = -g/l * \sin(\theta(t))$$

- Podstawiamy

$$y1(t) = \theta(t)$$

$$y2(t) = \theta'(t)$$

- i otrzymujemy układ równań pierwszego rzędu

$$y1'(t) = y2(t)$$

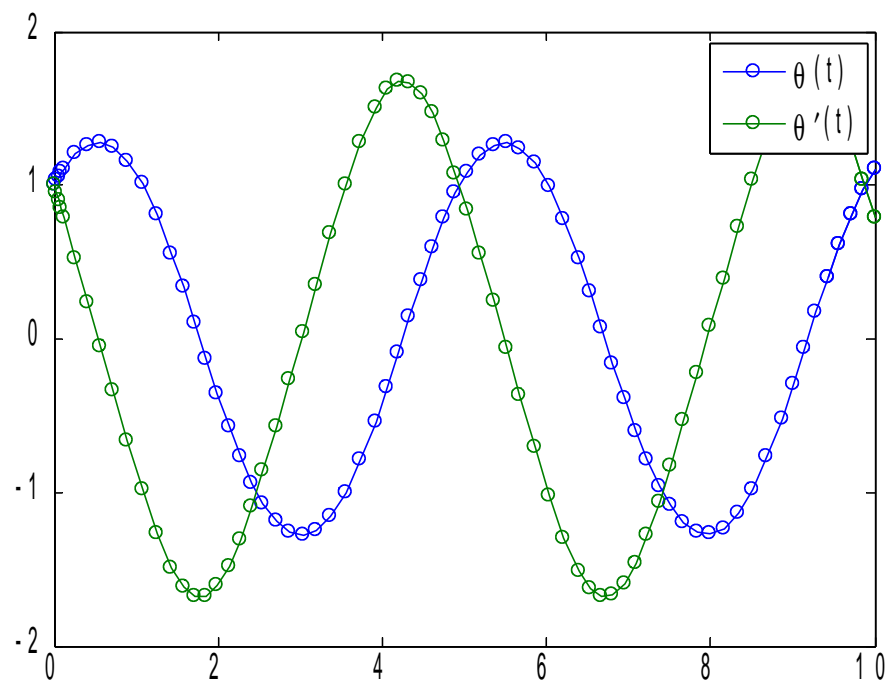
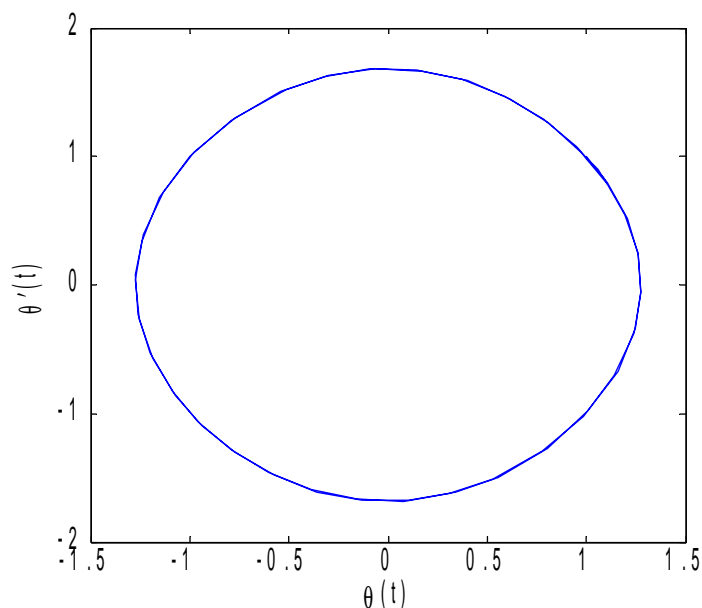
$$y2'(t) = -g/l * \sin(y1(t))$$

Równania różniczkowe wyższych rzędów (2)

```
function yp = wah(t,y,p)
% WAH - pochodna rownania ruchu wahadla matematycznego
yp = [y(2); -p(1)/p(2)*sin(y(1))];

>> tspan=[0 10];           % czas: 0 - 10s
>> y0=[1; 1];              % wychylenie katowe: 1rad, prędkość katowa: 1rad/s

% parametry: przyspieszenie ziemskie 10m/s^2, długość wahadla: 5m
>> ode45(@wah,tspan,y0,[],[10 5]);
```

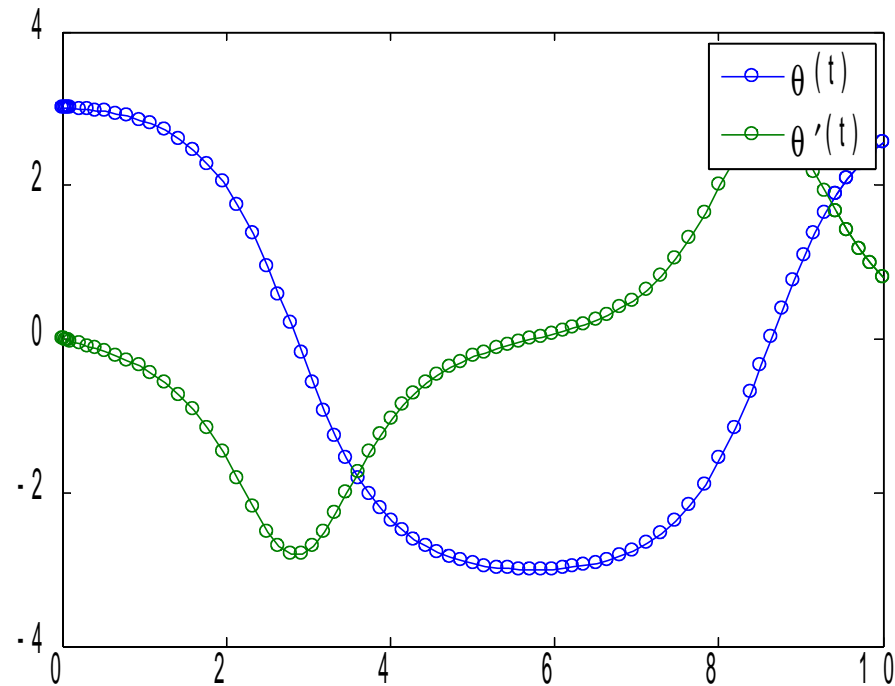
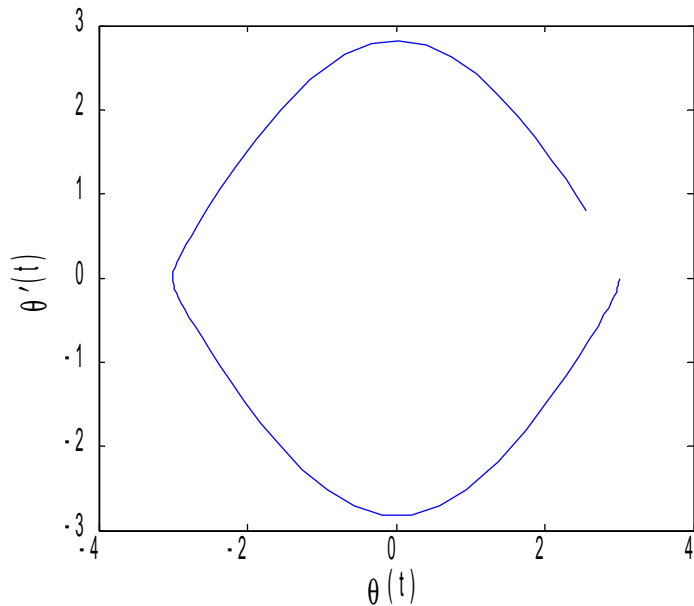


Wizualizacje przebiegów

```
function yp = wah(t,y,p)
% WAH - pochodna rownania ruchu wahadla matematycznego
yp = [y(2); -p(1)/p(2)*sin(y(1))];

>> tspan=[0 10];           % czas: 0 - 10s
>> y0=[3; 0];              % wychylenie katowe: 3rad, prędkość katowa: 0rad/s

% parametry: przyspieszenie ziemskie 10m/s^2, długość wahadla: 5m
>> ode45(@wah,tspan,y0,[],[10 5]);
```

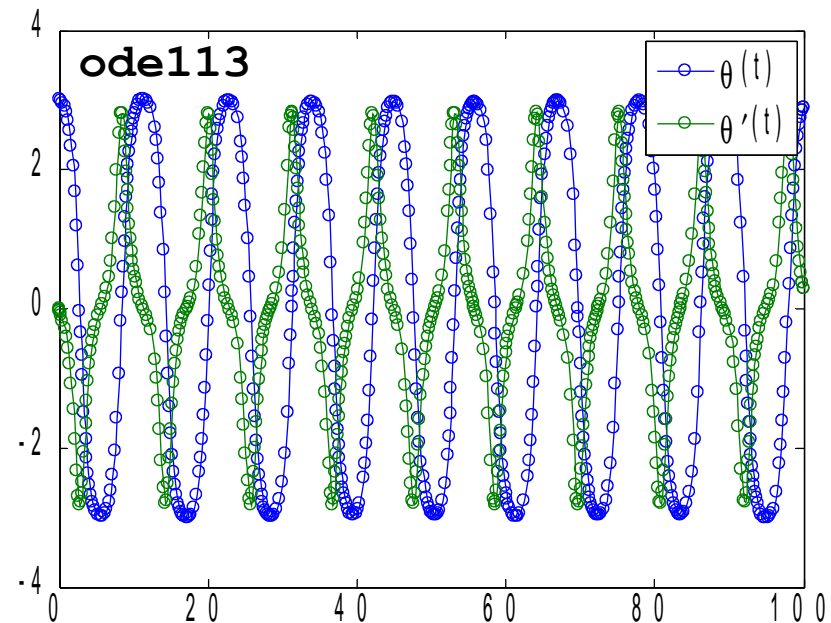
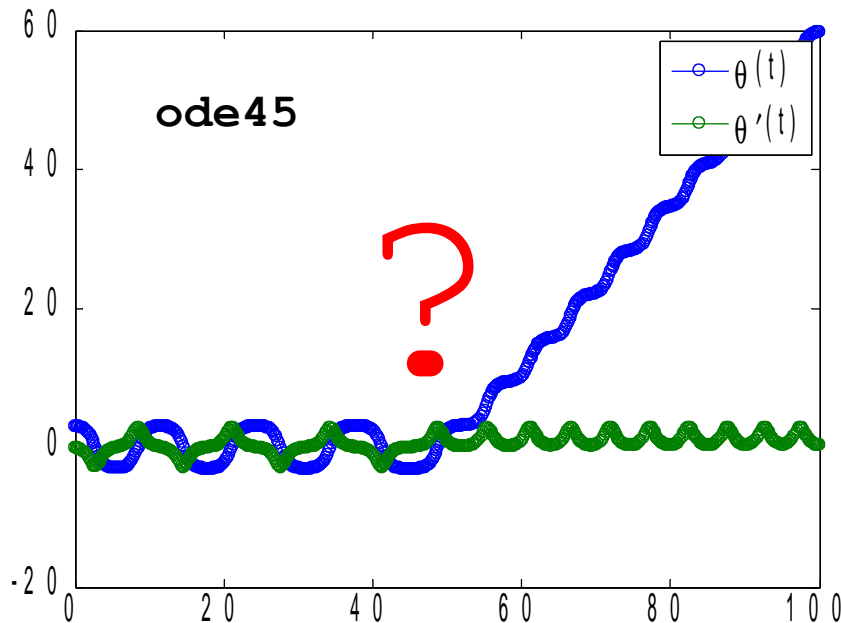


Stabilność solvera

```
function yp = wah(t,y,p)
% WAH - pochodna rownania ruchu wahadla matematycznego
yp = [y(2); -p(1)/p(2)*sin(y(1))];

>> tspan=[0 100];           % czas: 0 - 100s
>> y0=[3; 0];               % wychylenie katowe: 3rad, prędkość katowa: 0rad/s

% parametry: przyspieszenie ziemskie 10m/s^2, długość wahadla: 5m
>> ode45(@wah,tspan,y0,[],[10 5]); % sypie się...
>> ode113(@wah,tspan,y0,[],[10 5]); % wygląda ok
```



Dziś najważniejsze było...

- Ogromne możliwości obliczeń numerycznych
 - w MATLABie, ale podobne także w LabView, Octave'ie, R, Pythonie...
 - warto nauczyć się z nich korzystać
- Równania różniczkowe są bardzo szeroko stosowane w inżynierii biomedycznej
 - MATLAB dostarcza narzędzi do budowy i analizy modeli różniczkowych
 - warto nauczyć się z nich korzystać

Cele

- Rozwinięcie umiejętności poprawnego programowania:
 - programowanie proceduralne
 - elementy programowania obiektowego
 - tworzenie graficznego interfejsu użytkownika
- Nabycie umiejętności samodzielnego uczenia się
 - języka programowania
- Poznanie MATLABa jako narzędzia
 - rozwiązywania problemów numerycznych

Zakres problemów numerycznych

- Podstawowa analiza danych
(wizualizacja, wczytywanie i zapisywanie plików)
- Podstawowe obliczenia statystyczne
- Metody interpolacji danych i dopasowywania krzywych
- Problemy algebry liniowej
- Całkowanie, różniczkowanie
- Rozwiązywanie równań różniczkowych zwyczajnych
- *Podstawy analizy sygnałów, operacje na sygnałach*
(będzie na odrębnym przedmiocie)

A za 2 tygodnie...

- **Kolokwium**
 - PN 14.05 godz. 13.15-15.00, sala 314/A-1
- Kolokwium poprawkowe
 - CZ **31.05** godz. 17.05-18.45, sala 314/A-1